



URZĄD PATENTOWY
RZECZYPOSPOLITEJ POLSKIEJ

6/2022

BIULETYN

Urzędu Patentowego

WYNAŁAZKI
I WZORY UŻYTKOWE



Urząd Patentowy RP – na podstawie art. 43 ust. 1, art. 100 oraz art. 233¹ ustawy z dnia 30 czerwca 2000 r. Prawo własności przemysłowej (Dz. U. z 2013 r. poz. 1410 z późniejszymi zmianami) oraz rozporządzenia Prezesa Rady Ministrów wydanego na podstawie art. 93 oraz art. 101 ust. 2 powołanej ustawy – dokonuje ogłoszenia w „Biuletynie Urzędu Patentowego” o zgłoszonych wynalazkach, wzorach użytkowych.

Ogłoszenia o zgłoszeniach wynalazków i wzorów użytkowych publikowane w Biuletynie podane są w układzie klasowym według Międzynarodowej Klasyfikacji Patentowej i zawierają:

- symbol Międzynarodowej Klasyfikacji Patentowej,
- numer zgłoszenia wynalazku lub wzoru użytkowego,
- datę zgłoszenia wynalazku lub wzoru użytkowego,
- datę i kraj uprzedniego pierwszeństwa oraz numer zgłoszenia lub oznaczenie wystawy,
- nazwisko i imię lub nazwę zgłaszającego,
- miejsce zamieszkania lub siedzibę oraz kraj zgłaszającego,
- nazwisko i imię wynalazcy,
- tytuł wynalazku lub wzoru użytkowego,
- skrót opisu, w razie potrzeby z figurą rysunku,
- liczbę zastrzeżeń,
- daty wprowadzenia zmian zastrzeżeń, jeśli miały miejsce.

W Biuletynie ogłasza się również informacje o międzynarodowych zgłoszeniach wynalazków i wzorów użytkowych, w zakresie których podjęto postępowanie przed Urzędem Patentowym RP działającym jako urząd wyznaczony lub wybrany oraz informacje o złożeniu tłumaczenia na język polski zastrzeżeń patentowych europejskiego zgłoszenia patentowego.

Po wykazie ogłoszeń o zgłoszeniach podaje się wykazy zgłoszeń wynalazków i wzorów użytkowych opublikowanych w danym numerze w układzie numerowym.

* * *

Od dnia ogłoszenia o zgłoszeniu wynalazku i wzoru użytkowego osoby trzecie mogą:

- 1) zapoznać się ze wskazanym opisem zgłoszeniowym wynalazku lub wzoru użytkowego, zawierającym opis, zastrzeżenia patentowe lub ochronne i rysunki oraz sporządzać z nich odpisy;
- 2) do czasu wydania decyzji w sprawie udzielenia patentu (prawa ochronnego) – zgłaszać do Urzędu Patentowego uwagi co do istnienia okoliczności uniemożliwiających jego udzielenie.

Informuje się, że kopie opisu zgłoszeniowego wynalazku lub wzoru użytkowego można zamawiać w Urzędzie Patentowym, przy czym w zamówieniu należy podać przynajmniej numer zgłoszenia. Celowe jest podanie innych danych identyfikacyjnych zamawianego materiału np. tytułu wynalazku lub wzoru użytkowego.

SPIS TREŚCI

OGŁOSZENIA O ZGŁOSZONYCH W URZĘDZIE PATENTOWYM WYNALAZKACH I WZORACH UŻYTKOWYCH

I. WYNALAZKI

DZIAŁ A Podstawowe potrzeby ludzkie	6
DZIAŁ B Różne procesy przemysłowe; transport.....	8
DZIAŁ C Chemia i metalurgia.....	11
DZIAŁ E Budownictwo; górnictwo; konstrukcje zespolone.....	13
DZIAŁ F Mechanika; oświetlenie; ogrzewanie; uzbrojenie; technika minerska	13
DZIAŁ G Fizyka.....	15
DZIAŁ H Elektrotechnika.....	19

II. WZORY UŻYTKOWE

DZIAŁ A Podstawowe potrzeby ludzkie	20
DZIAŁ B Różne procesy przemysłowe; transport.....	22
DZIAŁ E Budownictwo; górnictwo; konstrukcje zespolone.....	22
DZIAŁ F Mechanika; oświetlenie; ogrzewanie; uzbrojenie; technika minerska	23

III. WYKAZY

Wykaz numerowy wynalazków zgłoszonych w trybie krajowym	25
Wykaz numerowy wzorów użytkowych zgłoszonych w trybie krajowym.....	25
Informacje dotyczące zgłoszeń wynalazków i wzorów użytkowych, o których ogłoszenie ukazało się poprzednio w biuletynach Urzędu Patentowego.....	26
Wnioski o udzielenie prawa ochronnego na wzór użytkowy zgłoszony uprzednio jako wynalazek.....	26

BIULETYN

Urzędu Patentowego

WYNAŁAZKI I WZORY UŻYTKOWE

Warszawa, dnia 7 lutego 2022 r.

Nr 6

OGŁOSZENIA O ZGŁOSZONYCH W URZĘDZIE PATENTOWYM WYNAŁAZKACH I WZORACH UŻYTKOWYCH

Cyfrowe kody identyfikujące (wg normy WIPO ST. 9), które poprzedzają informacje o zgłoszonych do opatentowania wynalazkach oraz zgłoszonych do uzyskania prawa ochronnego wzorach użytkowych, mają następujące znaczenie:

- (21) – numer zgłoszenia wynalazku lub wzoru użytkowego
- (22) – data zgłoszenia wynalazku lub wzoru użytkowego
- (23) – dane dotyczące pierwszeństwa z wystawy (data i oznaczenie wystawy)
- (31) – numer zgłoszenia priorytetowego
- (32) – data zgłoszenia priorytetowego (data pierwszeństwa)
- (33) – kraj, w którym dokonano zgłoszenia priorytetowego (kod kraju)*
- (51) – symbol Międzynarodowej Klasyfikacji Patentowej
- (54) – tytuł wynalazku lub wzoru użytkowego
- (57) – skrót opisu w razie potrzeby z figurą rysunku
- (61) – nr zgłoszenia głównego
- (71) – nazwisko i imię lub nazwa zgłaszającego, a także miejsce zamieszkania lub siedziba oraz kraj zgłaszającego (kod kraju)*
- (72) – nazwisko i imię twórcy (ów) wynalazku lub wzoru użytkowego
- (86) – data i numer zgłoszenia międzynarodowego
- (87) – data i numer publikacji zgłoszenia międzynarodowego
- (96) – data i numer zgłoszenia europejskiego
- (97) – data i numer publikacji europejskiego zgłoszenia (lub europejskiego patentu jeżeli został udzielony)

Przed cyfrowym kodem identyfikującym (21), umieszczone są następujące literowo-cyfrowe kody rodzaju dokumentu (wg normy WIPO ST. 16):

- A1 – ogłoszenie o zgłoszeniu wynalazku
- A3 – ogłoszenie o zgłoszeniu wynalazku (na patent dodatkowy)
- U1 – ogłoszenie o zgłoszeniu wzoru użytkowego

*) nie podaje się kodu PL

I. WYNAŁAZKI

DZIAŁ A

PODSTAWOWE POTRZEBY LUDZKIE

A1 (21) **434882** (22) 2020 08 03

(51) **A21D 8/04** (2006.01)

A21D 2/34 (2006.01)

A21D 2/36 (2006.01)

A21D 8/06 (2006.01)

A21D 13/00 (2017.01)

(71) MIELNIK SŁAWOMIR PIEKARNIA - CUKIERNIA, Straszyn

(72) MIELNIK SŁAWOMIR

(54) **Sposób wytwarzania pieczywa na bazie rozczywna na naturalnej maślanca i z dodatkiem ziemniaków oraz pieczywo na bazie rozczywna na naturalnej maślanca i z dodatkiem ziemniaków**

(57) Przedmiotem zgłoszenia jest sposób wytwarzania pieczywa na bazie rozczywna na naturalnej maślanca i z dodatkiem ziemniaków, który charakteryzuje się tym, że rozczywna – składający się z mąki żytniej, naturalnej maślanca (korzystnie z mleka krowiego) podgrzanej do temp. 30°C, zaczątku (z mąki żytniej i wody) oraz wody – poddaje się fermentacji w czasie 3 godzin, następnie rozczywna miesza się, nadając mu temperaturę 25 – 27°C, a w końcowej fazie rozrostu 29°C, w temperaturze otoczenia 30 – 32°C, z kolei do rozczywna dodaje się mąkę pszenną, obrane, przegotowane do miękkości, ostudzone i zmielone ziemniaki, drożdże, sól, wodę, po czym wszystkie składniki miesza się przez 10 min, a uzyskane ciasto o temperaturze 28°C rozważa się na kęsy, które po wydużeniu umieszcza się w formach i poddaje procesowi fermentacji w temperaturze 35 – 38°C przy zachowaniu wilgotności 75 – 80%, a po uzyskaniu pełnego rozrostu wypieka się w piecu piekarniczym przez 45 – 55 min. w temperaturze wjazdowej 260°C, utrzymywanej przez pierwszych 5 min, a następnie obniżanej do 190°C. Pieczywo na bazie rozczywna na naturalnej maślanca i z dodatkiem ziemniaków charakteryzuje się tym, że zawiera rozczywna na naturalnej maślanca (korzystnie z mleka krowiego) oraz 18% ziemniaków.

(4 zastrzeżenia)

A1 (21) **434916** (22) 2020 08 06

(51) **A23D 9/02** (2006.01)

(71) ELSTAR FATS SPÓŁKA Z OGRANICZONĄ ODPOWIEDZIALNOŚCIĄ, Stare Pole

(72) AUGUŚCIK PAUL; TARGOŃSKI ANDRZEJ

(54) **Sposób wytwarzania kompozycji tłuszczowej do zastosowań w różnych aplikacjach w ciastach i wyrobach cukierniczych, takiej jak tłuszcz cukiernicze i emulsje typu woda w oleju**

(57) Przedmiotem wynalazku jest sposób wytwarzania kompozycji tłuszczowej do zastosowań w różnych aplikacjach w ciastach i wyrobach cukierniczych, takiej jak tłuszcz cukiernicze i emulsje typu woda w oleju. Mieszanie w procesie ze zbiornika niamiarowego poddaje się procesowi estryfikacji enzymatycznej w reaktorze ze złożem nieruchomym, w którym substrat o temperaturze 65°C wtłaczany jest do kolumny wypełnionej unieruchomionymi enzymami z prędkością z jaką jest odprowadzany produkt, lub mieszanie w procesie ze zbiornika niamiarowego poddaje się estryfikacji

enzymatycznej w reaktorze okresowym z zainstalowanym mieszadłem, przy czym do reaktora wprowadza się substraty oraz unieruchomione enzymy i przeprowadza reakcję przy pracującym mieszadłem, nadto poziom substratów w reaktorze zmniejsza się w miarę upływu czasu z powodu zachodzącej konwersji do produktów. Następnie po estryfikacji produkt przetłacza się do zbiorników magazynowych pośrednich, i poddaje się go procesowi deodoryzacji, po zakończeniu którego przekazuje się go do zbiorników magazynowych i schładza się ów produkt poddając go krystalizacji wedle znanego sposobu.

(2 zastrzeżenia)

A1 (21) **434883** (22) 2020 08 03

(51) **A23L 21/12** (2016.01)

A23L 29/212 (2016.01)

A23L 29/225 (2016.01)

A23L 29/30 (2016.01)

(71) MIELNIK SŁAWOMIR PIEKARNIA - CUKIERNIA, Straszyn

(72) MIELNIK SŁAWOMIR

(54) **Sposób wytwarzania nadzienia warzywno-owocowego do ciasta drożdżowego oraz nadzienie warzywno-owocowego do ciasta drożdżowego**

(57) Przedmiotem zgłoszenia jest sposób wytwarzania nadzienia warzywno-owocowego do ciasta drożdżowego, który charakteryzuje się tym, że buraki obiera się i gotuje w temperaturze 95 – 100°C na małym ogniu 3,5 – 4 godz. do miękkości i studzi się, a maliny, cukier, mąkę natywną, skrobię, sól umieszcza się w urządzeniu do gotowania i powoli podgrzewa, ugotowane i przestudzone buraki kroi się i blenduje na pulpę, a następnie w chwili osiągnięcia przez maliny temperatury 75 – 80°C dodaje się buraki i łączy te składniki ze sobą za pomocą różgi cukierniczej, po czym przelewa się całą powstałą masę do pojemników, przykrywa szczelnie i studzi w chłodni, w temperaturze otoczenia 4°C, do temperatury 5°C. Zgłoszenie obejmuje także nadzienie warzywno-owocowe do ciasta drożdżowego, które charakteryzuje się tym, że zawiera buraki gotowane i maliny mrożone.

(2 zastrzeżenia)

A1 (21) **434877** (22) 2020 08 03

(51) **A47B 57/08** (2006.01)

A47B 57/16 (2006.01)

A47B 57/00 (2006.01)

A47B 47/00 (2006.01)

(71) HLEBIONEK BOLESŁAW PRZEDSIĘBIORSTWO

WYPOSAŻANIA INWESTYJCJI ALSANIT, Trzcianka

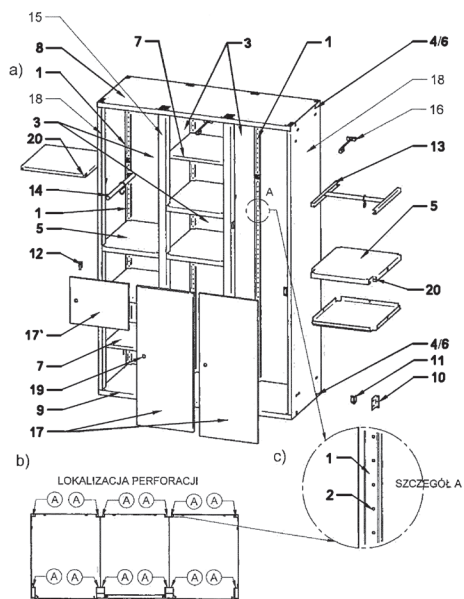
(72) HLEBIONEK TOMASZ

(54) **Zestaw elementów szafki modułowej**

(57) Przedmiotem zgłoszenia jest zestaw elementów szafki modułowej do użytku publicznego o zróżnicowanym przeznaczeniu. Zestaw elementów metalowej szafki modułowej, jedno i wielokomorowej, o jednym lub wielu poziomach charakteryzuje się tym, że zawiera o w każdej z komór (3) odpowiednio profilowane z blachy, cztery pionowe narożniki (1) z otworami (2), na pełną wewnętrzną wysokość szafki, systemowe zaczepy (4) i otwory (6) w przegrodach (7) oraz w wieńcu górnym (8) i dolnym (9) a także odpowiednio ukształtowane akcesoria takie jak, kątowniki (10) pozycjonujące montaż zawiasów (11), zetowniki zaczepu (12) zamka (19), podtrzymki drążków ubraniowych (13) i mocowania haczyków ubraniowych (14). Profilowane narożniki (1) komór (3), mają system otworów (2) współosiowych z otworami (20) w półkach (7),

przegrodach (5) i akcesoriach. Elementy szafki łączone są za pośrednictwem wkrętów, o średnicy odpowiednio dopasowanej do średnicy otworów (2). W okresie eksploatacji szafki, po zmianie wysokości komory (3) w ten sam korpus, mogą być montowane drzwi (17) lub (17') o zróżnicowanym kształcie i wysokości.

(6 zastrzeżeń)



A1 (21) 434911 (22) 2020 08 06

(51) **A47J 43/28** (2006.01)
A47G 21/18 (2006.01)

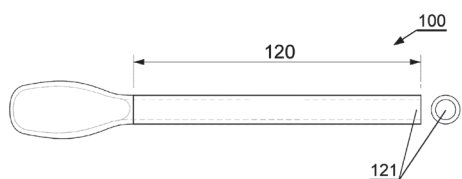
(71) ZACHTEJ BEATA CENTRUM LOGOPEDYCZNE EFATA, Łódź

(72) ZACHTEJ BEATA

(54) **Łyzeczka**

(57) Łyzeczka do karmienia zawierająca część czerpakową połączoną z rękojeścią wykonaną z tworzywa sztucznego, znamieną tym że rękojeść (120) ma kształt rurki, wykonana jest z elastomeru oraz ma wzdłużny otwór przelotowy (121).

(7 zastrzeżeń)



A1 (21) 434876 (22) 2020 08 03

(51) **A61C 17/08** (2006.01)
A61C 17/06 (2006.01)

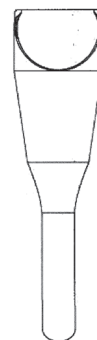
(71) GRZECH-LEŚNIAK KINGA, Kraków; MATYS JACEK, Tylewice

(72) GRZECH-LEŚNIAK KINGA; MATYS JACEK

(54) **Końcówka ssaka stomatologicznego**

(57) Końcówka ssaka stomatologicznego przedstawiona na rysunku wykonana jest z tworzywa sztucznego jednorazowego lub o wytrzymałości termicznej minimum do 140°C i możliwości sterylizacji w autoklawach stomatologicznych klasy B bez zmian właściwości fizycznych, stanowiąca tuleję w kształcie stożka o podwójnym ścięciu, przy czym w dolnej części ścięcie jest ukośne, a w górnej części jest pionowo poprzeczne, połączona z elastycznym przewodem odprowadzającym aerosol oraz opary przy zabiegu dentystycznym i posiada szerokość w rzucie pionowym najkorzystniej w zakresie 25 do 50 mm i długość w zakresie 150 do 250 mm.

(1 zastrzeżenie)



A1 (21) 434900 (22) 2020 08 04

(51) **A61K 8/34** (2006.01)
A61K 8/69 (2006.01)
A61K 8/73 (2006.01)
A61K 8/81 (2006.01)
A61Q 7/00 (2006.01)

(71) OCEANIC SPÓŁKA AKCYJNA, Sopot

(72) GRUŻEWSKA KATARZYNA; GOŁĘBIEWSKI KAMIL

(54) **Wodna kompozycja kosmetyczna zawierająca tafluprost w postaci estru etylowego, sposób wytwarzania kompozycji kosmetycznej i zastosowanie kompozycji kosmetycznej**

(57) Przedmiotowy wynalazek dotyczy wodnej kompozycji kosmetycznej zawierającej tafluprost w postaci estru etylowego, sposobu jej wytwarzania oraz jej zastosowania. Kompozycja kosmetyczna według wynalazku znajduje szczególne zastosowanie w produktach kosmetycznych do pielęgnacji i pokrywania ludzkich włókien keratynowych takich jak rzęsy i a w szczególności do zwiększania długości, grubości i gęstości brwi i rzęs, stopnia ich nawilżenia oraz stopnia nawilżenia skóry w okolicach stosowania.

(19 zastrzeżeń)

A1 (21) 434859 (22) 2020 07 31

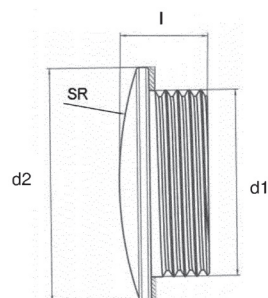
(51) **A61L 2/10** (2006.01)
A47L 15/42 (2006.01)
F21V 3/06 (2018.01)
F21V 33/00 (2006.01)

(71) AMICA SPÓŁKA AKCYJNA, Wronki

(72) ZAKRZEWSKA AGATA

(54) **Lampa LED UV o sferycznym kloszu, zwłaszcza do zmywarki**

(57) Zgłoszenie dotyczy lampy LED UV o sferycznym kloszu, zwłaszcza do zmywarki, zawierający zintegrowany moduł elektroniczny źródła światła UV umieszczony w kloszu z transparentnego materiału, składający się z co najmniej jednej diody LED UV, przy czym zintegrowany moduł elektroniczny, posiada wyjście do połączenia z głównym sterownikiem zmywarki, za pomocą wiązki przewodów, charakteryzującej się tym, że klosz o sferycznym kształcie, przez który przechodzi promieniowanie UV o długości fali od 100 do 350 nm, ma średnicę (d2) od 32 do 60 mm, kulistość jego powierzchni (SR) wynosi od 44 do 151,5, odległość h płytki modułu,



na której znajduje się dioda UV, do czaszy klosza wynosi co najwyżej 7 mm, zaś grubość ścianki klosza nie przekracza 3 mm, przy czym klosz wykonany jest z metamateriału rozpraszającego promieniowanie w taki sposób, że dociera do miejsc w całej zmywarce.
(4 zastrzeżenia)

A1 (21) 434903 (22) 2020 08 05

(51) A62B 18/08 (2006.01)

A41D 13/11 (2006.01)

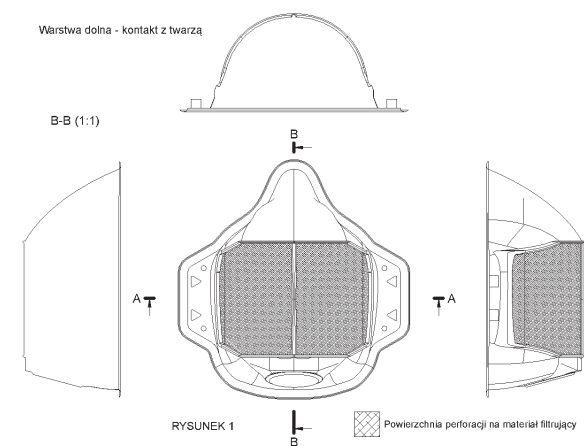
A62B 18/10 (2006.01)

(71) URBANIEC WOJCIECH, Bielsko-Biała

(72) URBANIEC WOJCIECH; WYDRA DARIUSZ;
KLEMENS KRZYSZTOF

(54) Dwuczęściowa półmaska z wkładem filtrującym, wielokrotnego użycia

(57) Konstrukcja półmasksi pokazana na rysunku będąca przedmiotem zgłoszenia posiada budowę składającą się z dwóch masek pasujących jedna w drugą (jedna pomniejszona od 0,2 do 4 krotności grubości materiału od drugiej). Obie warstwy półmasek posiadają odpowiednią perforację. Pomiędzy maskami jest umieszczony materiał filtrujący. W zależności od materiału filtrującego oraz powierzchni perforacji pomiędzy maskami, taka półmaska może spełniać nawet najbardziej surowe wymogi co do szczelności a tym samym poziomą zabezpieczenia układu oddechowego noszącego.
(11 zastrzeżeń)



DZIAŁ B

RÓŻNE PROCESY PRZEMYSŁOWE; TRANSPORT

A1 (21) 434896 (22) 2020 08 04

(51) B01F 3/00 (2006.01)

B01F 3/08 (2006.01)

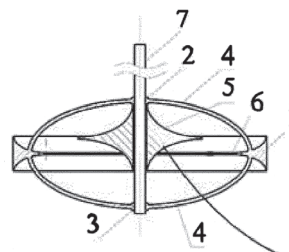
(71) ZACHODNIOPOMORSKI UNIWERSYTET
TECHNOLOGICZNY W SZCZECINIE, Szczecin

(72) KORDAS MARIAN; RAKOCZY RAFAŁ;
KONOPACKI MACIEJ; FRONCKIEWICZ KATARZYNA;
MUSIK DANIEL; WÓJCIK KRZYSZTOF;
SEKUŁA-WYBAŃSKA MAŁGORZATA

(54) Mieszadło do mieszania cieczy lub układów heterofazowych

(57) Mieszadło do mieszania cieczy lub układów heterofazowych, zawierające wał (7), piastę (2, 3), dysk (1) mieszadła, perforacje (6)

dysku, charakteryzuje się tym, że dysk (1) połączony jest z piastą górną (2) i dolną (3) za pośrednictwem łączników (4), a w centralnym otworze dysku (1) ma ruchomą przegrodę (5). Dysk (1) ma na powierzchni przelotowe perforacje (6). Ruchoma przegroda (5) ma kształt dwóch stożków o wspólnej podstawie z przelotowym otworem w osi przechodzącej przez wierzchołki stożków. Piasty górna (2) i dolna (3) połączone są z wałem (7) na sztywno, zaś ruchoma przegroda (5) osadzona jest na wale (7) przesuwnie.
(5 zastrzeżeń)



A1 (21) 434897 (22) 2020 08 04

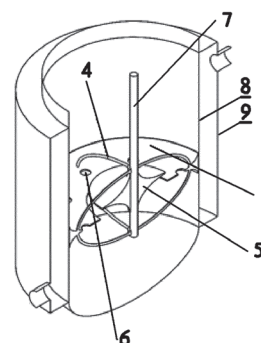
(51) B01F 11/00 (2006.01)

(71) ZACHODNIOPOMORSKI UNIWERSYTET
TECHNOLOGICZNY W SZCZECINIE, Szczecin

(72) KORDAS MARIAN; RAKOCZY RAFAŁ;
KONOPACKI MACIEJ; FRONCKIEWICZ KATARZYNA;
MUSIK DANIEL; WÓJCIK KRZYSZTOF;
SEKUŁA-WYBAŃSKA MAŁGORZATA

(54) Mieszalnik przeznaczony do mieszania cieczy lub układów heterofazowych

(57) Przedmiotem zgłoszenia jest mieszalnik przeznaczony do mieszania cieczy lub układów heterofazowych, zawierający zbiornik (8), płaszcz termostatujący (9) oraz mieszadło zawierające wał (7), piastę dysk (1) mieszadła, perforacje (6) dysku charakteryzuje się tym, że dysk (1) połączony jest z piastą górną i dolną za pośrednictwem łączników (4), a w centralnym otworze dysku (1) ma ruchomą przegrodę (5). Dysk (1) ma na powierzchni przelotowe perforacje (6). Ruchoma przegroda (5) ma kształt dwóch stożków o wspólnej podstawie z przelotowym otworem w osi przechodzącej przez wierzchołki stożków. Piasty górna i dolna połączone są z wałem (7) na sztywno, zaś ruchoma przegroda (5) osadzona jest na wale (7) przesuwnie.
(6 zastrzeżeń)



A1 (21) 434870 (22) 2020 07 31

(51) B23C 3/13 (2006.01)

B23C 3/16 (2006.01)

(71) UCZELNIA PAŃSTWOWA

IM. SZYMONA SZYMONOWICA W ZAMOŚCIU, Zamość

(72) BARTNICKI JAROSŁAW; BEDNARZ MARCIN

(54) Sposób obróbki części lotniczych wytworzonych z inconelu za pomocą narzędzi ceramicznych

(57) Rozwiązanie pozwala na zwiększenie dokładności kształtu obrabianych przedmiotów, wyeliminowanie możliwości deformacji

obrabianych przedmiotów wywołanymi naprężeniami wewnętrznymi jak również na skrócenie czasu procesu przy utrzymaniu optymalnych parametrów dotyczących dokładności kształtu obrabianych przedmiotów. Sposób obróbki części lotniczych wytworzonych z inconelu za pomocą narzędzi ceramicznych, charakteryzuje się tym, że w pierwszym etapie prowadzi się proces frezowania z posuwem zerowym i prowadzi się proces frezowania współbieżnego, obróbki zgrubnej głowicą frezarską z płytkami ceramicznymi bez chłodziwa zostawiając naddatek minimum 0,5 mm, z prędkością skrawania od 450 m/min – 950 m/min, korzystnie 750 m/min. a następnie prowadzi się obróbkę półwykańczającą i wykańczającą frezami węglukowymi, przy czym proces frezowania narzędziami ceramicznymi prowadzi się na wejściu w materiał po łuku w narożnik detalu w celu stopniowego zwiększania kąta opasania narzędzia. Proces frezowania współbieżnego, obróbki zgrubnej głowicą frezarską z płytkami ceramicznymi prowadzi się z chłodzeniem sprężonym powietrzem. Proces frezowania narzędziami ceramicznymi prowadzi się na wejściu w materiał redukując posuw w zakresie co najwyżej do 40% wartości docelowej.

(3 zastrzeżenia)

A1 (21) 434871 (22) 2020 07 31

(51) B29C 64/10 (2017.01)

B33Y 70/00 (2020.01)

B33Y 40/10 (2020.01)

C08L 25/10 (2006.01)

C08L 97/02 (2006.01)

(71) UCZELNIA PAŃSTWOWA

IM.SZYMONA SZYMONOWICA W ZAMOŚCIU, Zamość

(72) BARTNICKI JAROSŁAW; BEDNARZ MARCIN

(54) Sposób wytwarzania filamentów o dedykowanych własnościach dla drukarek 3D

(57) Rozwiązanie pozwala na uzyskanie optymalnych parametrów odnośnie homogeniczności, właściwości fizykochemicznych i połączenia mączki drzewnej jako wypełniacza do łączenia z tworzywami polimerowymi w postaci ABS i PLA gwarantujących równomierne rozłożenie wypełniacza na powierzchni przetwarzanego tworzywa. Materiał otrzymany może być dodatkowo stosowany we wszelkiego typu przekładkach tłumiących drgania konstrukcji stalowych i pozwala na bardziej stabilny montaż konstrukcji. Sposób wytwarzania filamentów o dedykowanych własnościach dla drukarek 3D, charakteryzuje się tym, że w pierwszym etapie do układu zasypowego agregatu wytłaczarskiego wprowadza się do procesu mieszania granulatu terpolimeru akrylonitrylo-butadieno-styrenowego oraz wypełniacz stanowiący mączkę drzewną o wielkości ziarna 100 - 250 µm, najkorzystniej 200 µm, w ilości 2,0 - 4,5%, najkorzystniej 2,5%, a następnie w drugim etapie bezpośrednio przed układem tłoczącym wprowadza się drugą porcję tego wypełniacza w takiej samej ilości.

(3 zastrzeżenia)

A1 (21) 434881 (22) 2020 08 03

(51) B62D 35/00 (2006.01)

(71) PRZYBOROWSKI JACEK, Clonmel, IE

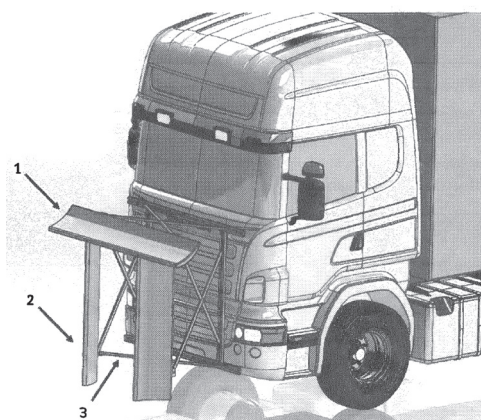
(72) PRZYBOROWSKI JACEK, IE

(54) Deflektor powietrza czołowy i pojazd do przewożenia ładunków wyposażony w deflektor powietrza czołowy

(57) Wynalazek dotyczy czołowego deflektora powietrza (1, 2) i pojazdu do przewożenia ładunków wyposażony w deflektor powietrza czołowy. Wyżej wymieniony deflektor umieszczony jest na przodzie pojazdu i przekierowuje strugę powietrza bezpośrednio na deflektor dachowy a także na boki pojazdu zmniejszając opór powietrza co przekłada się na zmniejszone zużycie paliwa. Panel horyzontalny ukierunkowuje strugę powietrza nad kabinę pojazdu ciężarowego. Dwa panele wertykalne przekierowują strugę powietrza na boki kabiny pojazdu ciężarowego. Istota na którym opiera się wynalazek polega na tym że deflektor powietrza jest ruchomy. Przy prędkościach autostradowych 90 km/h wtedy kiedy opór powietrza

odgrywa kluczową rolę na opory ruchu pojazdu, deflektor jest wysuwany na odległość 1 m od czoła kabiny co umożliwi przekierowanie znaczących ilości powietrza na zewnętrzny obrys kabiny. Przy prędkościach poniżej 90 km/h deflektor przemieszcza się do pozycji wyjściowej czyli styka się z czołem kabiny.

(4 zastrzeżenia)



A1 (21) 434864 (22) 2020 07 31

(51) B62D 55/104 (2006.01)

B60G 3/20 (2006.01)

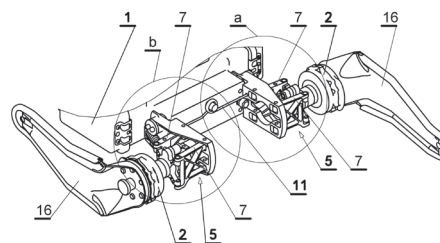
(71) SIEĆ BADAWCZA ŁUKASIEWICZ - PRZEMYSŁOWY INSTYTUT AUTOMATYKI I POMIARÓW PIAP, Warszawa

(72) KRAKÓWKA TOMASZ

(54) Zawieszenie koła gąsienicowego robota mobilnego

(57) Zgłoszenie dotyczy robota mobilnego mającego korpus (1) z bocznymi gąsienicami jezdznymi, w którym piasta (2) koła gąsienicowego przymocowana jest do korpusu robota (1) w sąsiedztwie jednego z jego końców za pośrednictwem równoległobocznego czworoboku przegubowego o zasadniczo pionowych osiach obrotu, połączonego przegubowo z korpusem także z pomocą liniowego członu sprężystego, korzystnie sprężyny śrubowej, o regulowanej sztywności. Czworobok przegubowy (5) oraz liniowy człon sprężysty połączone są z korpusem (1) robota za pośrednictwem wahacza o poziomej osi obrotu, sprzężonego z analogicznym wahaczem drugiego koła gąsienicowego ulokowanego w sąsiedztwie tego samego końca korpusu (1). Sprzężenie obu wahaczy stanowi poprzeczny człon sprężysty (11) ulokowany pomiędzy tymi wahaczami i zamocowany do korpusu (1) robota w jego osi podłużnej.

(5 zastrzeżeń)



A1 (21) 434329 (22) 2020 07 31

(51) B63B 35/58 (2006.01)

B63B 35/613 (2006.01)

B63B 1/12 (2006.01)

(71) LASKA KAZIMIERZ, Kościerzyna; LASKA TOMASZ, Kościerzyna; LASKA ADAM, Kościerzyna

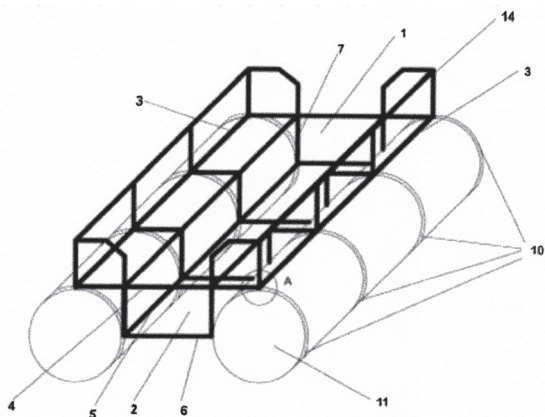
(72) LASKA KAZIMIERZ; LASKA TOMASZ; LASKA ADAM

(54) Tratwa rekreacyjno-ratunkowa

(57) Tratwa rekreacyjno-ratunkowa złożona jest z dwóch prostokątnych ram, (1 i 2) o jednakowej długości i różnych szerokościach, wykonanych z kształtowników stalowych i połączonych ze sobą w taki sposób, że płaszczyzny ram są do siebie równoległe, a osie

symetrii ram znajdują się w jednej płaszczyźnie pionowej. Ramy są trwale połączone pionowymi wspornikami (7), ponadto na ramie (1) usytuowany jest przynajmniej jeden półpokład, zaś na ramie (2) umieszczony jest podkład, a wzdłuż zewnętrznych krawędzi ram (1 i 2) do wzdłużników (3 i 5) przymocowane są trwale opaski (10) do mocowania przynajmniej czterech szczelnych, cylindrycznych pływaków (11), wykonanych ze sztywnego materiału, przy długość opasek (10) odpowiada długości obwodu pływaków (11) i zaopatrzone są na swych końcach w otwory do spinania końców każdej opaski (10) na obwodzie pływaka (11) połączeniem rozłącznym.

(8 zastrzeżeń)



A1 (21) 434898 (22) 2020 08 04

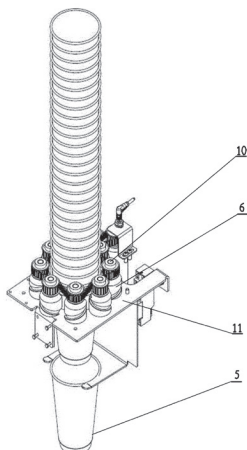
- (51) B65G 59/00 (2006.01)
B65G 59/10 (2006.01)
B65B 43/44 (2006.01)
A47F 1/00 (2006.01)

(71) KRAM FC SPÓŁKA Z OGRANICZONĄ
ODPOWIEDZIALNOŚCIĄ, Dzierzgoń
(72) GŁUSZYK PIOTR

(54) **Dyspenser do bezdotykowego wysuwania
jednorazowych kubków**

(57) Dyspenser do bezdotykowego wysuwania jednorazowych kubków składający się z mechanizmu podawania kubków, nad którym ma zasobnik na kubki, zaś poniżej ma uchwyt podtrzymujący kubek oraz ma czujnik zbliżeniowy do uruchamiania mechanizmu podawania kubków, charakteryzujący się tym, że mechanizm podawania kubków (5) posiada przynajmniej jedną płytę (11), która ma rozmieszczone na obwodzie otworu na kubek (5), co najmniej dwie pary obrotowych separatorów (6) w postaci wałków osadzonych na osiach (10) posadowionych w przynajmniej jednej płycie (11) i napędzanych silnikiem, gdzie pierwsza część obrotowych separatorów (6) obraca się w przeciwnym kierunku do kierunku obrotu drugiej części obrotowych separatorów (6).

(19 zastrzeżeń)



A1 (21) 434868 (22) 2020 08 03

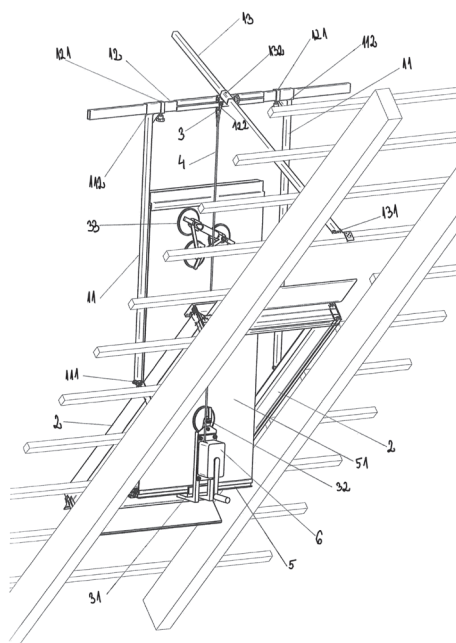
- (51) B66C 19/02 (2006.01)
B66C 23/20 (2006.01)
E04D 13/03 (2006.01)
E04D 15/00 (2006.01)

(71) FLOREK RYSZARD, Łosie
(72) FLOREK RYSZARD

(54) **Urządzenie podnoszące i opuszczające element
budowlany**

(57) Przedmiotem wynalazku jest urządzenie podnoszące i opuszczające element budowlany, zbudowane z co najmniej dwóch ramion (11), z których każde posiada górny koniec (112) oraz dolny koniec (111), przy czym dolny koniec (111) przeznaczony jest do zamocowania do podłoża stałego tworząc z nim rozłączne połączenie przegubowe, belki poprzecznej (12) z zaczepem (122) na hak (3), przy czym górne końce (112) każdego z ramion (11) połączone są z belką poprzeczną (12), tworząc z nią połączenie przesuwne, co najmniej jednej podpory skośnej (13), zamocowanej, w sposób przesuwny i przegubowy do belki poprzecznej (12) oraz w sposób przegubowy do podłoża stałego, wciągarki (6) z linką (4) zakończoną hakiem (3) charakteryzujące się tym, że wciągarka (6) zaczepiona jest do elementu budowlanego (5) oraz sposób podnoszenia i opuszczania elementu budowlanego za pomocą urządzenia podnoszącego i opuszczającego.

(10 zastrzeżeń)



A1 (21) 434915 (22) 2020 08 06

- (51) B66C 19/02 (2006.01)
B66C 23/20 (2006.01)
E04D 13/03 (2006.01)
E04D 15/00 (2006.01)

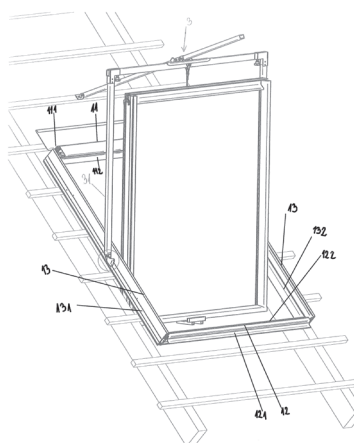
(71) FLOREK RYSZARD, Łosie
(72) FLOREK RYSZARD

(54) **Okno dachowe z uniwersalną bazą montażową**

(57) Okno dachowe posiadające ościeżnicę zbudowaną z ramiaka górnego (11), ramiaka dolnego (12) oraz dwóch ramiaków bocznych (13), połączonych ze sobą w zamkniętą ramę przy czym każdy ramiak ościeżnicy posiada powierzchnię boczną zewnętrzną (111, 121, 131) oraz powierzchnię boczną wewnętrzną (112, 122, 132), tak, że skrzydło okna dachowego osadzone jest w ościeżnicy od strony powierzchni bocznej wewnętrznej jej ramiaków oraz skrzydło posiada pakiet szybowy, znamienne tym, że na powierzchni bocznej

zewnątrznej (131) co najmniej jednego ramiaka (11, 12, 13) znajduje się co najmniej jedna baza montażowa.

(5 zastrżeżeń)



DZIAŁ C

CHEMIA I METALURGIA

A1 (21) 434858 (22) 2020 07 31

(51) **C04B 20/10** (2006.01)

C09C 3/00 (2006.01)

(71) SIEĆ BADAWCZA ŁUKASIEWICZ - INSTYTUT MECHANIZACJI BUDOWNICTWA I GÓRNICCTWA SKALNEGO, Warszawa

(72) MIROS ARTUR; BAIC IRENEUSZ; KOZIŁO WIESŁAW; BIEL KATARZYNA

(54) **Impregnat do kruszywa oraz kruszywo**

(57) Przedmiotem zgłoszenia jest impregnat do kruszywa, który zawiera roztwór wodny z dodatkiem środka hydrofobowego o stężeniu masowym od 0,05% do 5%, nanocynku o stężeniu masowym od 0,0001% do 0,1% oraz nanomiedzi o stężeniu masowym od 0,0001% do 0,1%. Zgłoszenie obejmuje też kruszywo zawierające ziarna o budowie warstwowej, posiadające rdzeń i połączoną z nim jednorodnie zewnętrzną powłokę, znamienne tym, że zewnętrzna powłoka zawiera mieszaninę środka hydrofobowego, nanomiedzi oraz nanocynku.

(6 zastrżeżeń)

A1 (21) 434907 (22) 2020 08 05

(51) **C07C 5/22** (2006.01)

C07C 13/40 (2006.01)

B01J 29/06 (2006.01)

(71) ZACHODNIOPOMORSKI UNIwersYTET TECHNOLOGICZNY W SZCZECINIE, Szczecin; AKADEMIA IM. JAKUBA Z PARADYŻA

W GORZOWIE WIELKOPOLSKIM, Gorzów Wielkopolski

(72) WRÓBLEWSKA AGNIESZKA; MIĄDLICKI PIOTR; FAJDEK-BIEDA ANNA; RADOMSKA-ZALAS ALEKSANDRA; TOŁPA JADWIGA

(54) **Sposób izomeryzacji geraniolu w obecności haloizytu jako katalizatora**

(57) Przedmiotem zgłoszenia jest sposób izomeryzacji geraniolu, w fazie ciekłej, w obecności który haloizytu jako katalizatora, któ-

ry charakteryzuje się tym, że stosuje się haloizyt modyfikowany przez przemycie 0,1 M roztworem wodnym kwasu siarkowego (VI), w ilości od 1 do 10% wagowych. Stosuje się haloizyt modyfikowany o następującym składzie: Al₂O₃ 32,6%, SiO₂ 38,17%, P₂O₅ 1,05%, SO₃ 0,17%, TiO₂ 2,36%, Fe₂O₃ 24,02%. Korzystnie proces izomeryzacji prowadzi się w temperaturze 50 - 80°C, w czasie od 15 minut do 3 godzin, w atmosferze powietrza i pod ciśnieniem atmosferycznym. Korzystnie proces prowadzi się stosując intensywność mieszania 500 obr./min. Korzystnie do reaktora wprowadza się w pierwszej kolejności geraniol, a później katalizator.

(5 zastrżeżeń)

A1 (21) 434902 (22) 2020 08 05

(51) **C07C 9/04** (2006.01)

C07C 1/12 (2006.01)

C10J 3/00 (2006.01)

C01B 5/00 (2006.01)

C25B 1/04 (2021.01)

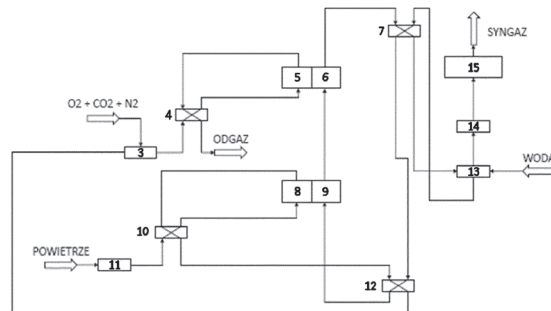
(71) TAURON WYTWARZANIE SPÓŁKA AKCYJNA, Jaworzno

(72) BERNAT RAFAŁ; KUPECKI JAKUB; MILEWSKI JAROSŁAW; SMÓŁKA WOJCIECH; ZDEB JANUSZ

(54) **Układ urządzeń do produkcji mieszaniny gazów zawierającej metan, parę wodną, dwutlenek węgla i wodór**

(57) Układ urządzeń do produkcji mieszaniny gazów zawierającej metan, parę wodną, dwutlenek węgla i wodór zawierający sprężarkę powietrza (11), która połączona jest z częścią zimną regeneracyjnego wymiennika ciepła (10), a następnie z komorą elektrod tlenowych stałotlenkowego elektrolizera (8) połączonej z częścią gorącą regeneracyjnego wymiennika ciepła (10), która łączy się z częścią gorącą regeneracyjnego wymiennika ciepła (12) połączonej z mieszalnikiem (3), do którego dodawana jest mieszanina tlenu, dwutlenku węgla oraz azotu, który to mieszalnik (3) połączony jest z częścią zimną wymiennika ciepła (4), która łączy się z komorą katod węglanowego ogniwa paliwowego (5), która łączy się następnie ze stroną gorącą wymiennika ciepła (4), która połączona jest z kominem gazów wylotowych oraz składa się z części zimnej separatora wilgoci (13), który połączony jest z częścią zimną wytwornicy pary (7), która łączy się z częścią zimną wymiennika ciepła (12), która łączy się z częścią gorącą wytwornicy pary (7), a następnie z częścią gorącą separatora wilgoci (13), i kolejno z układem suszącym i reaktorem metanizacji (15), z którego otrzymuje się gaz syntezowy, charakteryzuje się tym, że komora elektrod paliwowych stałotlenkowego elektrolizera parowego (9) połączona jest z komorą anod węglanowego ogniwa paliwowego (6).

(1 zastrzeżenie)



A1 (21) 434865 (22) 2020 08 01

(51) **C07D 249/08** (2006.01)

C07D 401/04 (2006.01)

A61K 31/4196 (2006.01)

A61P 33/00 (2006.01)

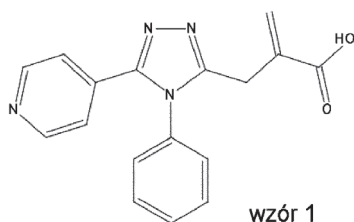
(71) UNIwersYTET MIKOŁAJA KOPERNIKA W TORUNIU, Toruń; UNIwersYTET MEDYCZNY W LUBLINIE, Lublin

(72) PAPROCKA RENATA; MODZELEWSKA-BANACHIEWICZ BOŻENA; KOŁODZIEJ PRZEMYSŁAW; BOGUCA-KOCKA ANNA

(54) **Kwas 2-((4-(4-fenyl)-5-(pirydyn-4-yl)-1,2,4-triazol-3-yl)metylo)akrylowy, sposób jego otrzymania oraz zastosowanie medyczne**

(57) Przedmiotem zgłoszenia jest kwas 2-((4-(4-fenyl)-5-(pirydyn-4-yl)-1,2,4-triazol-3-yl)metylo)akrylowy o wzorze 1. Zgłoszenie obejmuje także zastosowanie przedmiotowego związku i sposób jego otrzymania, który polega na rozpuszczeniu N-fenylpirydyno-4-karbohydrazonamidu i bezwodnika itakonowego w bezwodnym eterze dietylowym w stosunku molowym 1,8 : 2 i pozostawieniu w zamkniętym szczelnie naczyniu w temperaturze od 15°C do 25°C i przez okres od 5 dób do 15 dób. Powstały osad odsącza się i przekształca z wody.

(4 zastrzeżenia)



wzór 1

A1 (21) 434867 (22) 2020 07 31

(51) C08G 18/04 (2006.01)

C08G 18/06 (2006.01)

C08G 18/32 (2006.01)

C08G 18/34 (2006.01)

C08G 18/61 (2006.01)

C08F 290/06 (2006.01)

- (71) POLITECHNIKA RZESZOWSKA
IM. IGNACEGO ŁUKASIEWICZA, Rzeszów;
PODKARPACKIE CENTRUM INNOWACJI SPÓŁKA
Z OGRANICZONĄ ODPOWIEDZIALNOŚCIĄ, Rzeszów
- (72) PILCH-PITERA BARBARA; BYCZYŃSKI ŁUKASZ;
MOSSETY-LESZCZAK BEATA; WALCZAK MAŁGORZATA;
WOJTURSKA JOANNA; CZACHOR-JADACKA DOMINIKA;
WRONA PAULINA

(54) **Uretano-akrylan o zwiększonej funkcyjności oraz sposób wytwarzania uretano-akrylanu o zwiększonej funkcyjności**

(57) Przedmiotem zgłoszenia jest uretano-akrylan, który charakteryzuje się tym, że zawiera od 4,5% do 7,9% wag. gliceryny oraz cukrol zawierający w cząsteczce od 4 do 6 atomów węgla oraz pierwszo i drugorzędowe grupy hydroksylowe. Zgłoszenie obejmuje też sposób wytwarzania uretano-akrylanu, który charakteryzuje się tym, że w pierwszym etapie do reaktora wprowadza się składnik izocyjanianowy w ilości od 44 do 58% wag., a następnie dodaje się do niego katalizator w ilości od 0,05 do 0,9% wag., po czym całość miesza się intensywnie, a następnie do mieszaniny reakcyjnej dozuje się mieszaninę gliceryny i cukrolu zawierającego w cząsteczce od 4 do 6 atomów węgla oraz pierwszo- i drugorzędowe grupy hydroksylowe, w ilości od 0,3 do 0,7 mola grup hydroksylowych na 1 mol grup izocyjanianowych składnika izocyjanianowego. Po czym mieszaninę reakcyjną ogrzewa się do temperatury z przedziału 100 do 120°C i intensywnie miesza utrzymując tę temperaturę. Następnie przechodzi się do etapu drugiego, w którym mieszaninę reakcyjną chłodzi się do temperatury z przedziału od 75°C do 85°C i dozuje się akrylan w ilości od 30% do 41% wag., mieszaninę reakcyjną utrzymuje się w temperaturze z przedziału 75°C do 85°C intensywnie mieszając aż do zaniku grup izocyjanianowych.

(27 zastrzeżeń)

Data wprowadzenia zmiany zastrzeżeń: 2021 06 08

A1 (21) 434869 (22) 2020 07 31

(51) C08G 63/08 (2006.01)

C08G 63/85 (2006.01)

C08G 69/44 (2006.01)

- (71) POLITECHNIKA RZESZOWSKA
IM. IGNACEGO ŁUKASIEWICZA, Rzeszów;
PODKARPACKIE CENTRUM INNOWACJI SPÓŁKA
Z OGRANICZONĄ ODPOWIEDZIALNOŚCIĄ, Rzeszów
- (72) WALCZAK MAŁGORZATA; MOSSETY-LESZCZAK BEATA;
ZIOŁO ALEKSANDRA; FURMAN MAREK; KISIEL MACIEJ;
LECHOWICZ JAROMIR; SMUSZ BEATA

(54) **Polikaprolakton oraz sposób otrzymania polikaprolaktonu**

(57) Przedmiotem zgłoszenia jest polikaprolakton rozgałęziony, który wytworzony jest w reakcji polimeryzacji ε-kaprolaktonu przy udziale hiperrozgałęzionego poliamidu jako inicjatora reakcji oraz w obecności katalizatora będącego organicznym związkiem cyny(II). Zgłoszenie obejmuje także sposób otrzymywania polikaprolaktonu, który polega na tym, że prowadzi się reakcję polimeryzacji ε-kaprolaktonu, podczas której stosuje się hiperrozgałęziony poliamid jako inicjator oraz organiczny związek cyny(II) jako katalizator reakcji. E-kaprolakton oraz od 0,01 do 1% mas. hiperrozgałęzionego poliamidu wprowadza się do reaktora i mieszaninę ogrzewa się, a zawartość reaktora miesza się i utrzymuje się ją w atmosferze gazu obojętnego. Następnie dodaje się organiczny związek cyny(II) i reakcję prowadzi się do czasu jej zakończenia. Uzyskany polikaprolakton rozpuszcza się w rozpuszczalniku organicznym i kolejno wytrąca się go wytrącalnikiem, a następnie odfiltrowywuje się go i dalej suszy się go.

(32 zastrzeżenia)

A1 (21) 434901 (22) 2020 08 05

(51) C08J 3/075 (2006.01)

C08L 89/00 (2006.01)

C08J 5/18 (2006.01)

C08K 5/053 (2006.01)

- (71) POLITECHNIKA ŁÓDZKA, Łódź
- (72) PROCHOŃ MIROSŁAWA; DZEIKALA OLEKSANDRA

(54) **Sposób wytwarzania żelu polimerowego o ograniczonej palności oraz sposób wytwarzania kompozytu żelowego**

(57) Wynalazek dotyczy sposobu wytwarzania żelu polimerowego o ograniczonej palności, w którym substancję powłokotwórczą w postaci żelatyny w ilości od 65 do 75 cz. wagowych rozpuszcza się w 73 - 88 cz. wag. wody destylowanej podgrzewając do temperatury 70 - 75°C, po całkowitym rozpuszczeniu żelatyny do mieszaniny wprowadza się glicerynę w ilości od 25 do 35 cz. wag., a następnie hydrolizat keratyny w ilości od 10 do 20 cz. wagowych, po czym całość miesza się do momentu uzyskania jednolitej masy. Wynalazek dotyczy także sposobu wytwarzania kompozytu z żelu polimerowego na drodze prasowania.

(10 zastrzeżeń)

A1 (21) 434927 (22) 2020 08 06

(51) C08L 55/02 (2006.01)

B33Y 70/00 (2020.01)

C07C 49/08 (2006.01)

C08K 3/10 (2018.01)

C08K 3/34 (2006.01)

C08K 3/38 (2006.01)

H01F 1/00 (2006.01)

- (71) SIEĆ BADAWCZA ŁUKASIEWICZ - INSTYTUT METALI
NIEŻELAZNYCH, Gliwice
- (72) POLAK MARCIN; RADON ADRIAN; HAWĘŁEK ŁUKASZ;
KOLANO-BURIAN ALEKSANDRA

(54) **Sposób wytwarzania kompozytowego materiału termoplastycznego o właściwościach magnetycznie miękkich przeznaczonych do druku 3D**

(57) Sposób wytwarzania kompozytowego materiału termoplastycznego o właściwościach magnetycznie miękkich przeznaczonych do druku 3D FDM wytworzonego z rozpuszczonego

w acetonie w temperaturze od 20°C do 58°C polimeru ABS i proszku o rozmiarze cząstek do 100 µm, o właściwościach magnetycznie miękkich, w proporcji do 90% wagowych proszku materiału magnetycznie miękkiego w kompozycie w postaci stałej polimer-proszek magnetycznie miękki, charakteryzuje się tym, że proszek magnetycznie miękki stanowi $\text{Fe}_{79,8}\text{Co}_2\text{Mo}_{0,2}\text{Si}_4\text{B}_{14}$ [%at].

(1 zastrzeżenie)

A1 (21) 434904 (22) 2020 08 04

(51) C09K 8/03 (2006.01)
C09K 8/38 (2006.01)
C09K 8/58 (2006.01)
E21B 43/25 (2006.01)

(71) LEŃSKI WITOLD WITCHEM, Krosno
(72) LEŃSKI WITOLD

(54) Sposób otrzymywania świec pniących służących do wynoszenia wód złożowych z odwiertów gazowych poprzez wytworzenie piany z tych wód oraz świece pniące otrzymane tym sposobem

(57) Wynalazek dotyczy sposobu otrzymywania świec pniących służących do wynoszenia wód złożowych z odwiertów gazowych poprzez wytworzenia piany z tych wód oraz świece pniące otrzymane tym sposobem. Świece pniące są stosowane w instalacjach gazu ziemnego w celu usunięcia gromadzących się w nich wód złożowych. Sposób otrzymywania świec polega na odparowywaniu wody lub innego rozpuszczalnika w zakresie temperatur od 45°C – 160°C. Zaletą świec produkowanych tą metodą jest wysoka zawartość procentowa środków powierzchniowo-czynnych w świecach oraz ich wysoka temperatura topnienia.

(1 zastrzeżenie)

A1 (21) 434899 (22) 2020 08 04

(51) C23C 14/24 (2006.01)
B32B 15/01 (2006.01)
H01R 11/28 (2006.01)

(71) GRUPA AZOTY SPÓŁKA AKCYJNA, Tarnów
(72) LASKA MATEUSZ

(54) Sposób wytwarzania elementów bimetalicznych

(57) Przedmiotem zgłoszenia jest sposób wytwarzania elementów bimetalicznych poprzez powlekanie powierzchni bazowych warstwą innego metalu który polega na tym, że na warstwę bazową nanoszona jest przy użyciu technik próżniowych, korzystnie metodą PVD, warstwa metalu o grubości od 1 µm do 100 µm, w postaci atomów metalu takich jak miedź, cynk, srebro, złoto i stopy tych metali, przy czym proces prowadzony jest przy próżni wyższej niż $2,5 \times 10^{-2}$ mbar, przy mocy napyłania od 200 W do 10 kW przez okres od 0,5 minuty do 15 minut w atmosferze gazu obojętnego, korzystnie w atmosferze argonu. Przedmiotem wynalazku jest również bimetalowa końcówka tulejkowa wytworzona sposobem według wynalazku.

(10 zastrzeżeń)

DZIAŁ E

BUDOWNICTWO; GÓRNICTWO;
KONSTRUKCJE ZESPOLONE

A1 (21) 434886 (22) 2020 08 03

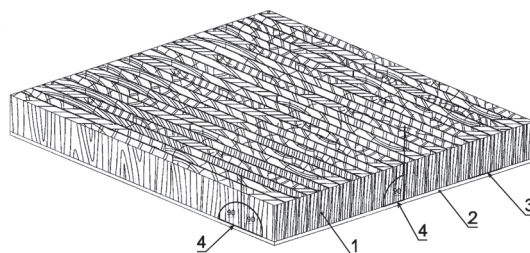
(51) E04C 2/10 (2006.01)
E04C 2/12 (2006.01)
B32B 21/13 (2006.01)

(71) LIS BOGUSŁAW, Warszawa
(72) LIS BOGUSŁAW

(54) Produkt klejony ze złomu drzewnego

(57) Istotą tego rozwiązania jest połączenie frakcji drewnianych o jednakowej wysokości, ale dowolnym, lub usystematyzowanym układzie względem siebie w zależności od przeznaczenia wyrobu, ale zawsze, bezwzględnie, frakcje drewniane są ustawione prostopadle /słojem pionowo, prostopadle/ do dwóch płaszczyzn płaszczy zewnętrznych - w przypadku wyrobu dwu płaszcwowego, lub 1 płaszczyzny zewnętrznej - w przypadku wyrobu 1 płaszcwowego z jedną stroną odkrytą w zależności od przeznaczenia wyrobu. Do połączenia frakcji drewnianych z płaszczyznami zewnętrznymi zastosowano kleje wodne i poliuretanowe, żywice i mieszaniny ceramiczne stosownie do przeznaczenia produktu. Wyrób przedstawiono na rysunku.

(1 zastrzeżenie)



A1 (21) 434920 (22) 2020 08 06

(51) E06B 9/00 (2006.01)
E06B 9/24 (2006.01)
E06B 9/28 (2006.01)

(71) KONECKA SABINA EWA, Białystok
(72) KONECKA SABINA EWA

(54) Zewnętrzny system osłon okien południowych

(57) Przedmiotem wynalazku jest zewnętrzny system osłon okien południowych – żaluzje zewnętrzne. System jest dedykowany oknom wystawionym na ekspozycję południową. System przeznaczony do własnego montażu, montowany bezpośrednio na szybie. System składający się z listew prowadzących i piór.

(3 zastrzeżenia)

DZIAŁ F

MECHANIKA; OŚWIETLENIE; OGRZEWANIE;
UZBROJENIE; TECHNIKA MINERSKA

A1 (21) 434875 (22) 2020 08 03

(51) F16K 11/07 (2006.01)
F15B 13/04 (2006.01)
F16K 17/00 (2006.01)

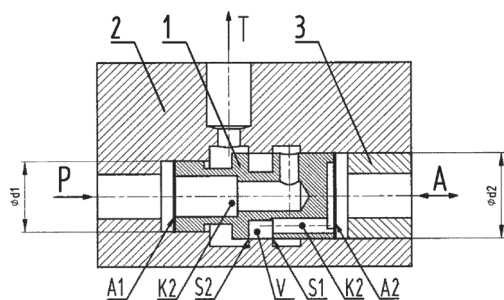
(71) POLITECHNIKA GDAŃSKA, Gdańsk
(72) PATROSZ PIOTR

(54) Zawór redukcyjno-przelewowy

(57) Zawór redukcyjno-przelewowy posiada korpus zaopatrzony w walcowy suwak (1) od strony kanału P wykonany w korpusie (2)

i posiada średnicę d_1 , zaś od strony kanału A wykonanego w pokrywie (3) ma średnicę d_2 .

(4 zastrzeżenia)



A1 (21) 434884 (22) 2020 08 03

(51) F23C 9/00 (2006.01)

F23K 3/02 (2006.01)

F23L 1/00 (2006.01)

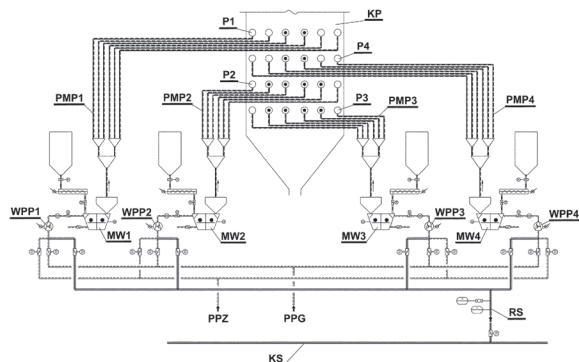
(71) RAFAKO SPÓŁKA AKCYJNA, Racibórz

(72) BRUDZIANA PIOTR; SIKORA DARIUSZ

(54) Układ do recyrkulacji spalin do komory paleniskowej kotła przy użyciu wentylatorów powietrza pierwotnego

(57) Przedmiotem zgłoszenia jest układ do recyrkulacji spalin do komory paleniskowej kotła przy użyciu wentylatorów powietrza pierwotnego. Zgodny ze zgłoszeniem układ charakteryzuje się tym, że w komorze paleniskowej KP kotła są rozmieszczone palniki pyłowe P1, P2, P3 i P4, które są zasilane paliwem węglowym dostarczanym z młynów węglowych MW1, MW2, MW3 i MW4 doprowadzanym przewodami mieszanki pyłowej młynów PMP1, PMP2, PMP3 oraz PMP4, a kanał spalin za wentylatorami ciągu KS jest połączony kanałem recyrkulacji spalin RS z kanałami powietrza pierwotnego po stronie ssawnej poszczególnych wentylatorów młynowych WPP1, WPP2, WPP3 i WPP4. Na przyłączach spalin recyrkulacyjnych do kanałów ssawnych wentylatorów WPP1, WPP2, WPP3 i WPP4 są zainstalowane zdalnie sterowane kłapy.

(1 zastrzeżenie)



A1 (21) 434913 (22) 2020 08 06

(51) F24D 12/02 (2006.01)

F24D 11/02 (2006.01)

(71) CZAMARA MAREK FIRMA HANDLOWO USŁUGOWA URZĄDZENIA CHŁODNICZE, Limanowa

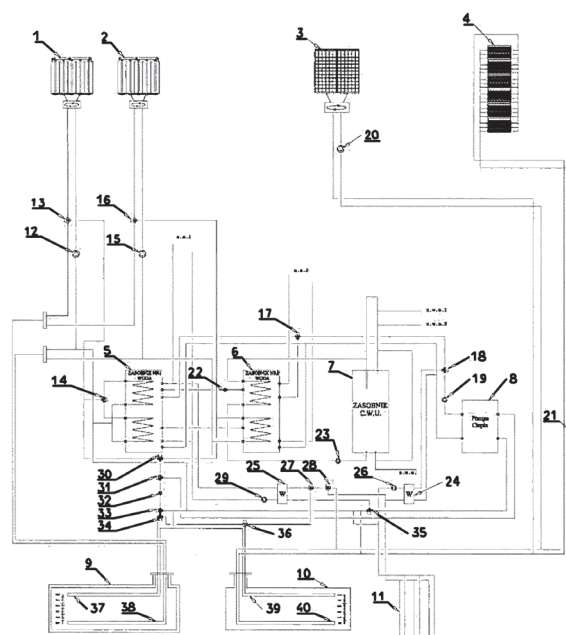
(72) CZAMARA MAREK

(54) System do bezemisyjnego całorocznego wytwarzania, magazynowania i przetwarzania energii cieplnej i elektrycznej

(57) System zbudowany jest z dwóch zestawów obrotowych kolektorów słonecznych (1 i 2), z modułów paneli fotowoltaicznych

PVT zainstalowanych na obrotowych trackerach (3), ze stacjonarnych modułów paneli fotowoltaicznych PV (4). Zestaw obrotowych kolektorów słonecznych (1) jest połączony poprzez zawór trójdrożny (13) i pompę obiegową (12) z górną i dolną węzownicą zasobnika buforowego (5) ciepłej wody oraz z dolnym wymiennikiem ciepła (38) zainstalowanym wewnątrz izolowanego zbiornika podziemnego (9). Górna i dolna węzownica zasobnika buforowego (5) ciepłej wody, poprzez zawór trójdrożny (14) połączone są z górnym wymiennikiem ciepła (37) zamontowanym wewnątrz izolowanego zbiornika podziemnego (9) poprzez pompę obiegową (32) oraz zawory trójdrożne (30, 31, 33 i 34). Zestaw obrotowych kolektorów słonecznych (2) jest połączony z dolną węzownicą zasobnika buforowego (6) ciepłej wody oraz z dolnym wymiennikiem ciepła (38) zamontowanym wewnątrz izolowanego zbiornika podziemnego (9) poprzez pompę obiegową (15) oraz poprzez zawór trójdrożny. Moduły paneli fotowoltaicznych PVT zainstalowane na obrotowych trackerach (3) oraz stacjonarne moduły paneli fotowoltaicznych PV (4) są połączone poprzez pompy obiegowe (20 i 21) z dolnym wymiennikiem ciepła (40) zamontowanym wewnątrz nieizolowanego zbiornika podziemnego (10). Stacjonarne moduły paneli fotowoltaicznych PV (4) są połączone poprzez pompę obiegową (21) z dolnym wymiennikiem ciepła (40) zamontowanym wewnątrz nieizolowanego zbiornika podziemnego (10). Pompa ciepła (8) od strony dolnego źródła ciepła jest połączona z górnym wymiennikiem ciepła (37) zainstalowanym wewnątrz izolowanego zbiornika podziemnego (9) oraz z górnym wymiennikiem ciepła (39) zainstalowanym wewnątrz nieizolowanego zbiornika podziemnego (10). Od strony górnego źródła ciepła pompa ciepła (8) połączona jest z dolnym wymiennikiem ciepła (40) zainstalowanym wewnątrz nieizolowanego zbiornika podziemnego (10) poprzez pompę obiegową (19) oraz zawór trójdrożny (18) i płytowy wymiennik ciepła (24). Pompa ciepła (8) połączona jest również poprzez pompę obiegową (26) i zawór trójdrożny (28) z gruntowym wymiennikiem ciepła (11), który stanowi pionowe odwierty w gruncie. Pompa ciepła (8) jest połączona z płytowym wymiennikiem ciepła (25) poprzez pompę obiegową (32) oraz poprzez zawory trójdrożne (27, 31, 33, 34, 35 i 36), natomiast płytowy wymiennik ciepła (25) połączony jest z zasobnikiem buforowym (5) ciepłej wody poprzez pompę obiegową (29). Od strony górnego źródła ciepła pompa ciepła (8) jest połączona poprzez pompę obiegową (19) oraz poprzez zawory trójdrożne (17 i 18) z zasobnikami buforowymi (5) oraz (6) ciepłej wody.

(9 zastrzeżeń)



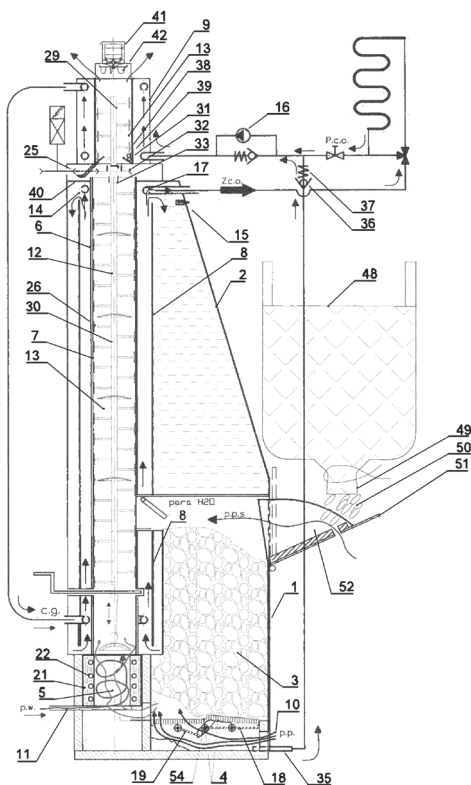
A1 (21) 434906 (22) 2020 08 05

- (51) F24H 8/00 (2006.01)
- F24H 1/28 (2006.01)
- F24H 1/46 (2006.01)
- F24H 9/20 (2006.01)
- F23G 7/10 (2006.01)
- F23G 5/16 (2006.01)
- F23B 10/02 (2011.01)
- F23B 50/02 (2006.01)
- F23J 3/02 (2006.01)
- F28G 3/10 (2006.01)
- F23H 13/06 (2021.01)
- F23L 1/02 (2006.01)
- F23L 9/04 (2006.01)
- F23L 17/02 (2006.01)
- F23K 3/00 (2006.01)

- (71) JOŃSKI JAN, Mokobody
- (72) JOŃSKI JAN; JOŃSKI MACIEJ

(54) **Kotłobufor zbudowany z kotła grzewczego umieszczonego wewnątrz bufora**

(57) Przedmiotem wynalazku jest kocioł grzewczy (1) umieszczony wewnątrz bufora (2). Wyposażony jest w dużą komorę paliwowo-gazyfikacyjną (3), dzielony ruszt (4), cylindryczną wirową komorę spalania (5), wysokotemperaturowy wymiennik ciepła (6) w postaci pionowej rury (7) osłoniętej przegrodą termoizolacyjną (8), kondensacyjny wymiennik ciepła (9), układ doprowadzania powietrza pierwotnego (10) i wtórnego (11), żuraw oraz wzmacniacz ciągu (41). Wysokotemperaturowy wymiennik ciepła (6) i kondensacyjny wymiennik ciepła (9) wykonane są z rur o przekroju kołowym, wewnątrz których obraca się skrobak (12) ścian wewnętrznych (13) wymienników. Na wylocie przegrody termoizolacyjnej (8) umieszczony jest czujnik łącznika termicznego (15) załączający pompę obiegową (16). Górny kolektor (17) zasila instalację grzewczą (Z.c.o), na dole zaś przegrody doprowadzona jest ciecz grzewcza z kondensacyjnego wymiennika (9) lub z dolnej części kotłobufora. Doprowadzenie strumieni powietrza pierwotnego (p.p.) pod ruchomy dzielony ruszt (4) regulowane jest wahliwymi przepustnicami (18) przy czym pierwsza przepustnica (19) ustawiona jest w pozycji około 20° a pozostałe pod kątem 0° do poziomu rusztu (4). Ich zbiorcze wahliwe



przewstawianie realizowane jest dźwigniami jednostronnymi połączonymi łącznikiem przepustnic natomiast jednostronne podnoszenie i opuszczanie dzielonego rusztu (4) dokonywane jest zespolonymi krzywkami (54) obracanymi dźwignią o wychyleniu około ± 45°. W wirowej komorze spalania (5) zainstalowany jest cylindryczny moduł grzewczy (21) z zabudowanymi elementami grzewczymi (22), których temperatura regulowana jest układem sterującym.

(8 zastrzeżeń)

Data wprowadzenia zmiany zastrzeżeń: 2021 02 22

DZIAŁ G

FIZYKA

A1 (21) 434917 (22) 2020 08 06

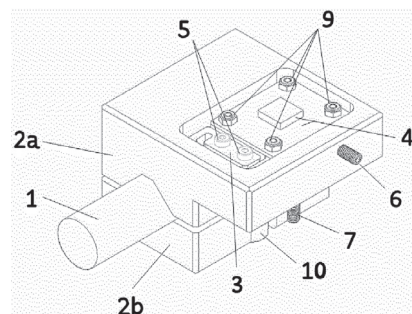
(51) G01B 5/00 (2006.01)

- (71) POLITECHNIKA WARSZAWSKA, Warszawa
- (72) ŁUCZAK SERGIUSZ

(54) **Sposób wyznaczania miary bicia osiowego oraz sposób eliminacji bicia osiowego**

(57) Sposób wyznaczania miary bicia osiowego zasadniczo poziomego wałka obejmujący umieszczanie na tym wałku czujnika, a następnie wykonywanie pomiarów w miarę obracania się wałka, charakteryzuje się tym, że stosuje się czujnik zawierający jednoosiowy akcelerometr elektromechaniczny umieszczony na płytce drukowanej (4) znajdującej się w dwuczęściowej obudowie (2a, 2b) obejmującej wałek i mającej zasadniczo prostopadłościenny kształt z komorą otwartą w jednej ścianie, przy czym płytka drukowana (4) znajduje się w tej komorze, w zespole justerskim (3), regulowanym w dwóch prostopadłych osiach dwoma wkrętami, a jako miarę bicia wyznacza się kątową odchyłkę b równoległości w przestrzeni osi obrotu wałka i osi symetrii wałka obracając wałek i wykonując pomiar napięcia U2 akcelerometru a następnie obliczając odchyłkę według wzoru (A) w którym U2_{max} i U2_{min} stanowią odpowiednio maksymalną i minimalną wartość pomiarową, zaś U1_{max} i U1_{min} oznaczają wartości sygnału wyjściowego akcelerometru wyznaczone w procesie kalibracji i odpowiadające jego idealnie pionowej orientacji - odpowiednio przy akcelerometrze zorientowanym pionowo w górę i pionowo w dół.

(2 zastrzeżenia)



$$b = \frac{1}{2} \left| \arcsin \left[\frac{2 \cdot U2_{max} - U1_{max} - U1_{min}}{U1_{max} - U1_{min}} \right] - \arcsin \left[\frac{2 \cdot U2_{min} - U1_{max} - U1_{min}}{U1_{max} - U1_{min}} \right] \right|$$

Wzór (A)

A1 (21) 434857 (22) 2020 07 31

(51) G01N 23/20 (2018.01)

G01B 15/00 (2006.01)

B82Y 35/00 (2011.01)

(71) SIEĆ BADAWCZA ŁUKASIEWICZ-INSTYTUT

MIKROELEKTRONIKI I FOTONIKI, Warszawa

(72) GACA JAROSŁAW; WÓJCIK MAREK; KAMIŃSKI PAWEŁ;

BUDZICH RAFAŁ; CIUK TYMOTEUSZ

(54) Sposób wyznaczenia profilu gęstości niejednorodnych nanometrycznych warstw tlenkowych na płytkach SiC

(57) Przedmiotem wynalazku jest sposób wyznaczania profilu gęstości niejednorodnych nanometrycznych warstw tlenkowych na płytkach SiC, w którym: wykonuje się pomiar intensywności promieniowania rentgenowskiego odbitego od powierzchni próbki z warstwą tlenkową i otrzymuje się eksperymentalną krzywą reflektometryczną, oblicza się teoretyczną krzywą reflektometryczną przy założonym modelu rozkładu gęstości masy w warstwie tlenkowej, którą traktuje się jako heterostrukturę składającą się ze stosu warstw różniących się grubością, gęstością masy i szorstkością powierzchni granicznych pomiędzy kolejnymi warstwami tej heterostruktuury, a także o różnej szorstkości powierzchni pomiędzy pierwszą warstwą a podłożem oraz o różnej szorstkości powierzchni ostatniej warstwy, przy czym liczba warstw może być zmieniana od 1 do 7, w procesie iteracji uzyskuje się coraz lepsze dopasowanie pomiędzy krzywą teoretyczną i eksperymentalną, a tym samym coraz lepszą aproksymację wartości parametrów opisujących heterostrukturę.

(4 zastrzeżenia)

A1 (21) 434885 (22) 2020 08 04

(51) G02F 1/1343 (2006.01)

G02F 1/13363 (2006.01)

G02F 1/1333 (2006.01)

(71) POLITECHNIKA ŁÓDZKA, Łódź

(72) CZYSZANOWSKI TOMASZ; SOKÓŁ ADAM;

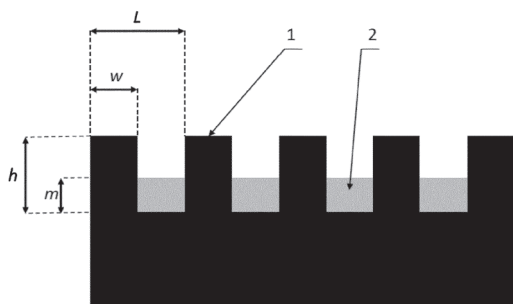
DEMS MACIEJ; WASIAK MICHAŁ;

NAKWASKI WŁODZIMIERZ

(54) Przezroczysta elektroda dla spolaryzowanego promieniowania o długości fali 1550 nm

(57) Przezroczysta elektroda dla spolaryzowanego promieniowania o długości fali 1550 nm, którą stanowi podfalowa siatka dyfrakcyjna wykonana w krzemie, w której znajdują się równoległe względem siebie rowki, o prostokątnym przekroju poprzecznym, o długości nie mniejszej niż 10 μm , wypełnione paskami ze złota charakteryzuje się tym, że pomiędzy rowkami wypełnionymi paskami ze złota znajdują się paski o przekroju prostokątnym wykonane z krzemu o jednakowych wymiarach, a ich wysokość jest większa od wysokości pasków wykonanych ze złota, a odległość między sąsiednimi rowkami w , głębokość rowków (h), okres rozmieszczenia rowków (L) oraz grubość pasków złotych m wynoszą: $w = 157$ nm, $h = 119$ nm, $L = 358$ nm, $m = 50$ nm.

(1 zastrzeżenie)



A1 (21) 434887 (22) 2020 08 04

(51) G02F 1/1343 (2006.01)

G02F 1/13363 (2006.01)

G02F 1/1333 (2006.01)

(71) POLITECHNIKA ŁÓDZKA, Łódź

(72) CZYSZANOWSKI TOMASZ; SOKÓŁ ADAM;

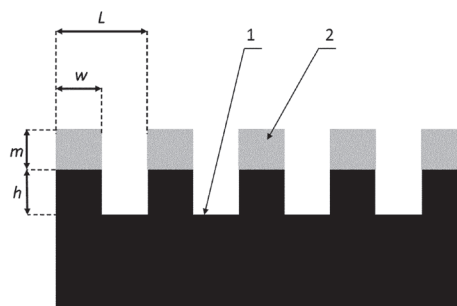
DEMS MACIEJ; WASIAK MICHAŁ;

NAKWASKI WŁODZIMIERZ

(54) Przezroczysta elektroda dla spolaryzowanego promieniowania o długości fali 1550 nm

(57) Przezroczysta elektroda dla spolaryzowanego promieniowania o długości fali 1550 nm, którą stanowi podfalowa siatka dyfrakcyjna wykonana w krzemie, w której znajdują się równoległe względem siebie rowki, o prostokątnym przekroju poprzecznym, o długości nie mniejszej niż 10 μm , charakteryzuje się tym, że na paskach krzemowych znajdują się paski ze złota o przekroju prostokątnym i o jednakowych wymiarach, a szerokość pasków w , wysokość pasków krzemowych (h), okres rozmieszczenia pasków (L) oraz grubość pasków złotych m wynoszą: $w = 37$ nm, $h = 141$ nm, $L = 50$ nm, $m = 50$ nm.

(1 zastrzeżenie)



A1 (21) 434888 (22) 2020 08 04

(51) G02F 1/1343 (2006.01)

G02F 1/13363 (2006.01)

G02F 1/1333 (2006.01)

(71) POLITECHNIKA ŁÓDZKA, Łódź

(72) CZYSZANOWSKI TOMASZ; SOKÓŁ ADAM;

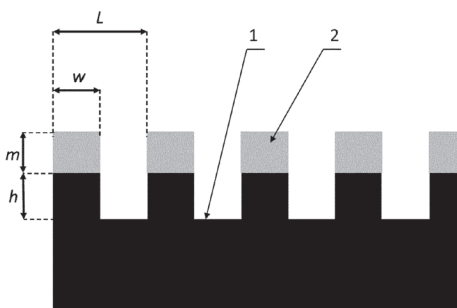
DEMS MACIEJ; WASIAK MICHAŁ;

NAKWASKI WŁODZIMIERZ

(54) Przezroczysta elektroda dla spolaryzowanego promieniowania o długości fali 660 nm

(57) Przezroczysta elektroda dla spolaryzowanego promieniowania o długości fali 660 nm, którą stanowi podfalowa siatka dyfrakcyjna wykonana w fosforzku galu, w której znajdują się równoległe względem siebie rowki, o prostokątnym przekroju poprzecznym, o długości nie mniejszej niż 10 μm , charakteryzuje się tym, że, na paskach z fosforzku galu znajdują się paski ze srebra o przekroju prostokątnym i o jednakowych wymiarach, a szerokość pasków w , wysokość pasków z fosforzku galu (h), okres rozmieszczenia pasków (L) oraz grubość pasków srebrnych m wynoszą: $w = 27$ nm, $h = 32$ nm, $L = 50$ nm, $m = 50$ nm.

(1 zastrzeżenie)



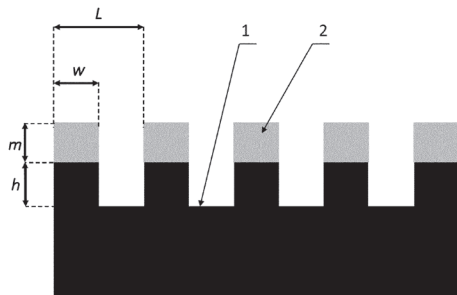
A1 (21) 434889 (22) 2020 08 04

(51) G02F 1/1343 (2006.01)
G02F 1/13363 (2006.01)
G02F 1/1333 (2006.01)(71) POLITECHNIKA ŁÓDZKA, Łódź
(72) CZYSZANOWSKI TOMASZ; SOKÓŁ ADAM;
DEMS MACIEJ; WASIAK MICHAŁ;
NAKWASKI WŁODZIMIERZ

(54) Przezroczysta elektroda dla spolaryzowanego promieniowania o długości fali 980 nm

(57) Przezroczysta elektroda dla spolaryzowanego promieniowania o długości fali 980 nm, którą stanowi podfalowa siatka dyfrakcyjna wykonana w arsenku galu, w której znajdują się równoległe względem siebie rowki, o prostokątnym przekroju poprzecznym, o długości nie mniejszej niż 10 μm , charakteryzuje się tym, że na paskach z arsenku galu znajdują się paski ze złota o przekroju prostokątnym i o jednakowych wymiarach, a szerokość pasków w , wysokość pasków z arsenku galu (h), okres rozmieszczenia pasków (L) oraz grubość pasków złotych m wynoszą: $w = 35 \text{ nm}$, $h = 68 \text{ nm}$, $L = 50 \text{ nm}$, $m = 50 \text{ nm}$.

(1 zastrzeżenie)



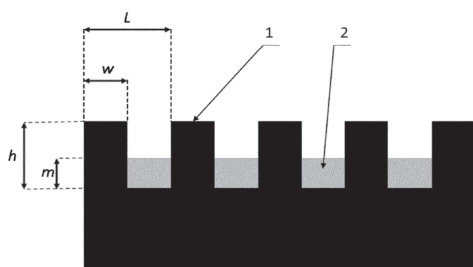
A1 (21) 434890 (22) 2020 08 04

(51) G02F 1/1343 (2006.01)
G02F 1/13363 (2006.01)
G02F 1/1333 (2006.01)(71) POLITECHNIKA ŁÓDZKA, Łódź
(72) CZYSZANOWSKI TOMASZ; SOKÓŁ ADAM;
DEMS MACIEJ; WASIAK MICHAŁ;
NAKWASKI WŁODZIMIERZ

(54) Przezroczysta elektroda dla spolaryzowanego promieniowania o długości fali 980 nm

(57) Przezroczysta elektroda dla spolaryzowanego promieniowania o długości fali 980 nm, którą stanowi podfalowa siatka dyfrakcyjna wykonana z arsenku galu, w której znajdują się równoległe względem siebie rowki, o prostokątnym przekroju poprzecznym, o długości nie mniejszej niż 10 μm , wypełnione paskami ze złota charakteryzuje się tym, że pomiędzy rowkami wypełnionymi paskami ze złota znajdują się paski o przekroju prostokątnym wykonane z arsenku galu o jednakowych wymiarach, a ich wysokość jest większa od wysokości pasków wykonanych ze złota, a odległość między sąsiednimi rowkami w , głębokość rowków (h), okres rozmieszczenia rowków (L) oraz grubość pasków złotych m wynoszą: $w = 113 \text{ nm}$, $h = 87 \text{ nm}$, $L = 228 \text{ nm}$, $m = 50 \text{ nm}$.

(1 zastrzeżenie)



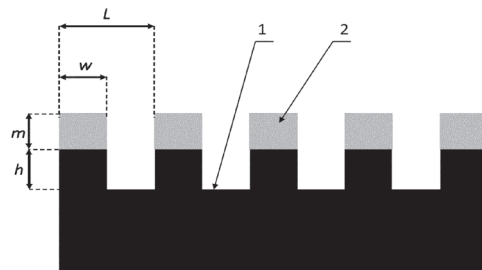
A1 (21) 434891 (22) 2020 08 04

(51) G02F 1/1343 (2006.01)
G02F 1/13363 (2006.01)
G02F 1/1333 (2006.01)(71) POLITECHNIKA ŁÓDZKA, Łódź
(72) CZYSZANOWSKI TOMASZ; SOKÓŁ ADAM;
DEMS MACIEJ; WASIAK MICHAŁ;
NAKWASKI WŁODZIMIERZ

(54) Przezroczysta elektroda dla spolaryzowanego promieniowania o długości fali 1310 nm

(57) Przezroczysta elektroda dla spolaryzowanego promieniowania o długości fali 1310 nm, którą stanowi podfalowa siatka dyfrakcyjna wykonana w fosforu indu, w której znajdują się równoległe względem siebie rowki, o prostokątnym przekroju poprzecznym, o długości nie mniejszej niż 10 μm , charakteryzuje się tym, że na paskach z fosforu indu znajdują się paski ze złota o przekroju prostokątnym i o jednakowych wymiarach, a szerokość pasków w , wysokość pasków z fosforu indu (h), okres rozmieszczenia pasków (L) oraz grubość pasków złotych m wynoszą: $w = 36 \text{ nm}$, $h = 116 \text{ nm}$, $L = 50 \text{ nm}$, $m = 50 \text{ nm}$.

(1 zastrzeżenie)



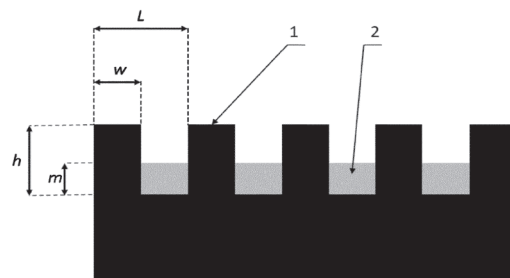
A1 (21) 434892 (22) 2020 08 04

(51) G02F 1/1343 (2006.01)
G02F 1/13363 (2006.01)
G02F 1/1333 (2006.01)(71) POLITECHNIKA ŁÓDZKA, Łódź
(72) CZYSZANOWSKI TOMASZ; SOKÓŁ ADAM;
DEMS MACIEJ; WASIAK MICHAŁ;
NAKWASKI WŁODZIMIERZ

(54) Przezroczysta elektroda dla spolaryzowanego promieniowania o długości fali 380 nm

(57) Przezroczysta elektroda dla spolaryzowanego promieniowania o długości fali 380 nm, którą stanowi podfalowa siatka dyfrakcyjna wykonana z azotku glinu, w której znajdują się równoległe względem siebie rowki, o prostokątnym przekroju poprzecznym, o długości nie mniejszej niż 10 μm , wypełnione paskami ze srebra charakteryzuje się tym, że pomiędzy rowkami wypełnionymi paskami ze srebra znajdują się paski o przekroju prostokątnym wykonane z azotku glinu o jednakowych wymiarach, a ich wysokość jest większa od wysokości pasków wykonanych ze srebra, a odległość między sąsiednimi rowkami w , głębokość rowków (h), okres rozmieszczenia rowków (L) oraz grubość pasków srebrnych m wynoszą: $w = 64 \text{ nm}$, $h = 155 \text{ nm}$, $L = 164 \text{ nm}$, $m = 20 \text{ nm}$.

(1 zastrzeżenie)



A1 (21) 434893 (22) 2020 08 04

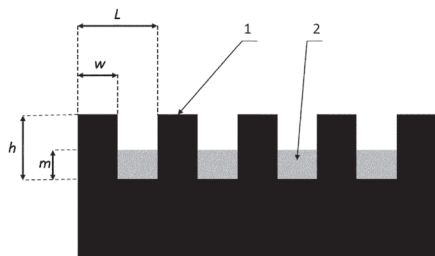
(51) G02F 1/1343 (2006.01)
G02F 1/13363 (2006.01)
G02F 1/1333 (2006.01)

(71) POLITECHNIKA ŁÓDZKA, Łódź
(72) CZYSZANOWSKI TOMASZ; SOKÓŁ ADAM;
DEMS MACIEJ; WASIAK MICHAŁ;
NAKWASKI WŁODZIMIERZ

(54) Przezroczysta elektroda dla spolaryzowanego promieniowania o długości fali 450 nm

(57) Przezroczysta elektroda dla spolaryzowanego promieniowania o długości fali 450 nm, którą stanowi podfalowa siatka dyfrakcyjna wykonana z azotku galu, w której znajdują się równoległe względem siebie rowki, o prostokątnym przekroju poprzecznym, o długości nie mniejszej niż 10 μm , wypełnione paskami ze srebra charakteryzuje się tym, że pomiędzy rowkami wypełnionymi paskami ze srebra znajdują się paski o przekroju prostokątnym wykonane z azotku galu o jednakowych wymiarach, a ich wysokość jest większa od wysokości pasków wykonanych ze srebra, a odległość między sąsiednimi rowkami w , głębokość rowków (h), okres rozmieszczenia rowków (L) oraz grubość pasków srebrnych m wynoszą: $w = 73 \text{ nm}$, $h = 170 \text{ nm}$, $L = 167 \text{ nm}$, $m = 50 \text{ nm}$.

(1 zastrzeżenie)



A1 (21) 434894 (22) 2020 08 04

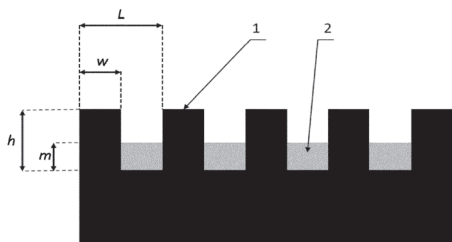
(51) G02F 1/1343 (2006.01)
G02F 1/13363 (2006.01)
G02F 1/1333 (2006.01)

(71) POLITECHNIKA ŁÓDZKA, Łódź
(72) CZYSZANOWSKI TOMASZ; SOKÓŁ ADAM;
DEMS MACIEJ; WASIAK MICHAŁ;
NAKWASKI WŁODZIMIERZ

(54) Przezroczysta elektroda dla spolaryzowanego promieniowania o długości fali 660 nm

(57) Przezroczysta elektroda dla spolaryzowanego promieniowania o długości fali 660 nm, którą stanowi podfalowa siatka dyfrakcyjna wykonana z fosforu galu, w której znajdują się równoległe względem siebie rowki, o prostokątnym przekroju poprzecznym, o długości nie mniejszej niż 10 μm , wypełnione paskami ze srebra charakteryzuje się tym, że pomiędzy rowkami wypełnionymi paskami ze srebra znajdują się paski o przekroju prostokątnym wykonane z fosforu galu o jednakowych wymiarach, a ich wysokość jest większa od wysokości pasków wykonanych ze srebra, a odległość między sąsiednimi rowkami w , głębokość rowków (h), okres rozmieszczenia rowków (L) oraz grubość pasków srebrnych m wynoszą: $w = 76 \text{ nm}$, $h = 71 \text{ nm}$, $L = 166 \text{ nm}$, $m = 50 \text{ nm}$.

(1 zastrzeżenie)



A1 (21) 434895 (22) 2020 08 04

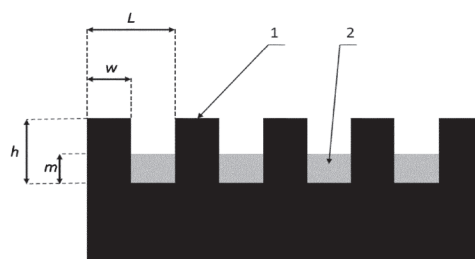
(51) G02F 1/1343 (2006.01)
G02F 1/13363 (2006.01)
G02F 1/1333 (2006.01)

(71) POLITECHNIKA ŁÓDZKA, Łódź
(72) CZYSZANOWSKI TOMASZ; SOKÓŁ ADAM;
DEMS MACIEJ; WASIAK MICHAŁ;
NAKWASKI WŁODZIMIERZ

(54) Przezroczysta elektroda dla spolaryzowanego promieniowania o długości fali 1310 nm

(57) Przezroczysta elektroda dla spolaryzowanego promieniowania o długości fali 1310 nm, którą stanowi podfalowa siatka dyfrakcyjna wykonana z fosforu indy, w której znajdują się równoległe względem siebie rowki, o prostokątnym przekroju poprzecznym, o długości nie mniejszej niż 10 μm , wypełnione paskami ze złota charakteryzuje się tym, że pomiędzy rowkami wypełnionymi paskami ze złota znajdują się paski o przekroju prostokątnym wykonane z fosforu indy o jednakowych wymiarach, a ich wysokość jest większa od wysokości pasków wykonanych ze złota, a odległość między sąsiednimi rowkami w , głębokość rowków (h), okres rozmieszczenia rowków (L) oraz grubość pasków złotych m wynoszą: $w = 189 \text{ nm}$, $h = 109 \text{ nm}$, $L = 323 \text{ nm}$, $m = 50 \text{ nm}$.

(1 zastrzeżenie)



A1 (21) 434862 (22) 2020 07 31

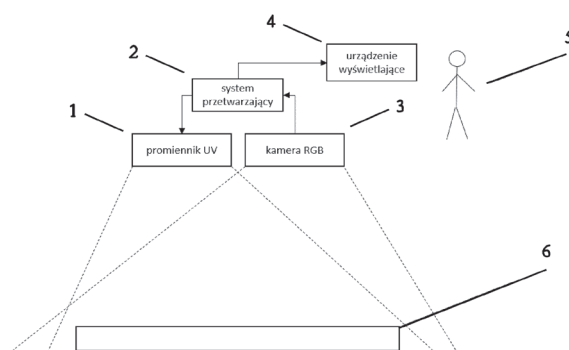
(51) G07D 7/00 (2016.01)

(71) POLITECHNIKA WARSZAWSKA, Warszawa
(72) CHRZĄSZCZ JERZY

(54) Detektor i sposób detekcji obiektów fluoryzujących

(57) Przedmiotem wynalazku jest sposób i urządzenie wspomagające wykrywanie obiektów o właściwościach fluorescencyjnych. Wynalazek dotyczy dziedziny rozpoznawania obrazów, zabezpieczeń fluoryzujących i środków bezpieczeństwa do nadzoru mienia i osób. Detektor obiektów fluoryzujących zawierający urządzenie sygnalizujące (4) połączone z systemem przetwarzającym (2), który jest połączony z przetwornikiem optycznym (3) i zawiera źródło promieniowania, charakteryzuje się tym, że źródło promieniowania stanowi źródło promieniowania UV (1).

(24 zastrzeżenia)



DZIAŁ H

ELEKTROTECHNIKA

A1 (21) 434860 (22) 2020 07 31

(51) H01F 41/00 (2006.01)

H01F 1/147 (2006.01)

H01F 1/33 (2006.01)

(71) SIEĆ BADAWCZA ŁUKASIEWICZ - INSTYTUT METALI
NIEŻELAZNYCH, Gliwice(72) RADOŃ ADRIAN; POLAK MARCIN; HAWĘŁEK ŁUKASZ;
KOLANO-BURIAN ALEKSANDRA(54) Sposób wytwarzania litych kompozytów
magnetycznych z warstwą izolacyjną
do zastosowań w elektrotechnice

(57) Przedmiotem zgłoszenia jest sposób wytwarzania litych kompozytów magnetycznych z warstwą izolacyjną do zastosowań w elektrotechnice charakteryzujący się tym, że w pierwszym etapie nanocząstki magnetytu o udziale wagowym od 5 do 15% wprowadza się do epoksydowej żywicy impregnującej w postaci proszku lub dyspersji w alkoholu etylowym lub acetonie o stężeniu nie większym niż 0,02 g/ml i przeprowadza się homogenizację mieszaniny za pomocą ultradźwięków o częstotliwości równej lub wyższej niż 40 kHz, w temperaturze pokojowej przez czas od 30 do 60 minut, a następnie tak zmodyfikowaną żywicę, w kolejnym etapie, miesza się ze sferycznym proszkiem wykonanym ze stopu ferromagnetycznego w ilości wynoszącej od 5 do 10% wagowych żywicy w stosunku do użytego proszku, po czym poddaje się obróbce w matrycach.

(3 zastrzeżenia)

A1 (21) 434855 (22) 2020 07 31

(51) H02K 31/00 (2006.01)

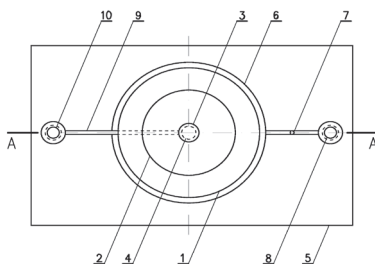
G09B 23/18 (2006.01)

(71) UNIWERSYTET ŁÓDZKI, Łódź

(72) BEDNAREK STANISŁAW

(54) Silnik unipolarny

(57) Przedmiotem wynalazku jest silnik unipolarny, przetwarzający energię prądu elektrycznego na energię kinetyczną ruchu obrotowego. Silnik unipolarny zawiera pionowy, cylindryczny magnes trwały (1), namagnesowany w kierunku osiowym, wykonany z materiału o dużej remanencji i koercji magnetycznej, przewodzącego prąd elektryczny, korzystnie ze stopu aluminium, niklu i kobaltu (AlNiCo). Górny koniec magnesu trwałego (1) jest zamknięty pokrywą (2) z osadzonym jej środkiem łożyskiem oporowym (3), mającym od dołu stożkowe zagłębienie i os łożyska oporowego (3) pokrywa się z osią magnesu trwałego (1). W stożkowym zagłębieniu łożyska oporowego (3) znajduje się wierzchołek pionowego pręta (4), osadzonego w podstawie (5). Do dolnej części cylindrycznej powierzchni magnesu trwałego (1) dotyka pierścien (6) połączony przez wspornik (7) z gniazdem (8) dla wtyku osadzonym w podstawie (5). Dolna część pionowego pręta (4) jest również połączona przewodem z drugim gniazdem (10) dla wtyku też osadzonym w podstawie (5). Oprócz tego: pokrywa (2), łożysko oporowe (3),



pionowy pręt (4), pierścien (6), wspornik (7), przewód (9) i gniazda (8), (10) dla wtyków są wykonane z metalu nieferromagnetycznego, korzystnie z miedzi, natomiast podstawa (5) jest wykonana z materiału nieferromagnetycznego i elektroizolacyjnego, korzystnie z tekstolitu.

(4 zastrzeżenia)

A1 (21) 434910 (22) 2020 08 06

(51) H02M 1/12 (2006.01)

H02M 1/14 (2006.01)

H02J 3/01 (2006.01)

H02J 1/02 (2006.01)

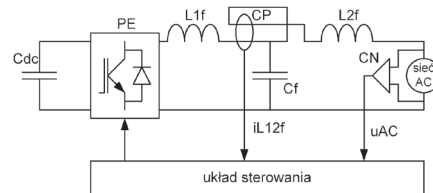
(71) POLITECHNIKA WARSZAWSKA, Warszawa

(72) IWAŃSKI GRZEGORZ; GAŁECKI ANDRZEJ

(54) Układ pomiaru prądu oraz sposób pomiaru prądu
w układzie przekształtnika energoelektronicznego
z filtrem sieciowym LCL

(57) Przedmiotem zgłoszenia jest układ pomiaru prądu w układzie przekształtnika energoelektronicznego z filtrem sieciowym LCL, wyposażonego w blok przekształtnika energoelektronicznego (PE) połączony szeregowo z cewką (L1f) filtru sieciowego LCL od strony przekształtnika oraz cewką (L2f) filtru sieciowego LCL od strony sieci. Pomiedzy tymi cewkami wpięty jest równoległy kondensator (Cf). Układ zawiera czujnik prądu (CP) lub czujnik napięcia (CN). Czujnik prądu (CP) składa się z rdzenia magnetycznego z oknem i czujnikiem pola magnetycznego w szczelnie rdzenia, przez które to okno przeprowadzone są przewody obydwu cewek (L1f i L2f). Czujnik napięcia (CN) jest podłączony równoległe do dwóch boczników pomiarowych Rb1, Rb2 wstawionych szeregowo z cewkami (L1f, L2f). Przedmiotem zgłoszenia jest również sposób pomiaru prądu w układzie przekształtnika energoelektronicznego z filtrem sieciowym LCL, w którym mierzy się sygnał prądu i_{L12f} będący sumą ważoną prądów przepływających przez cewkę (L1f) filtru sieciowego LCL od strony przekształtnika i przez cewkę (L2f) filtru sieciowego LCL od strony sieci.

(5 zastrzeżeń)



A1 (21) 434919 (22) 2020 08 06

(51) H05B 3/60 (2006.01)

F24H 1/10 (2006.01)

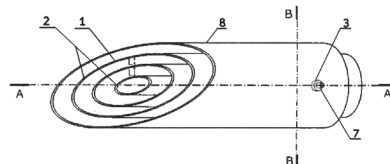
(71) RAFAŁ PIERZCHAŁA BOILI SYSTEM SPÓŁKA
KOMANDYTOWA, Warszawa

(72) GROTKOWSKA SYLWIA; PIERZCHAŁA RAFAŁ

(54) Przepływowa grzałka z elektroakustycznym
elementem grzejnym

(57) Elektroakustyczny element grzejny wykorzystujący przemienne prąd elektryczny dla przepływowej grzałki podgrzewającej płyny na bazie wody, zawiera elektroakustyczny rurowy rezonator powodujący ogrzewanie płynu, w którym jest zanurzony. Rezonator posiada trzy rurowe elektrody, elementy grzewcze, z których środkowa (1) jest elementem rezonującym, zaś dwie skrajne elektrody (2) są elektrodami buforującymi.

(13 zastrzeżeń)



II. WZORY UŻYTKOWE

DZIAŁ A

PODSTAWOWE POTRZEBY LUDZKIE

U1 (21) 129377 (22) 2020 07 31

(51) A41D 13/00 (2006.01)

A41D 13/01 (2006.01)

(71) INSTYTUT TECHNOLOGII BEZPIECZEŃSTWA MORATEX, Łódź; AKADEMIA SZTUK PIĘKNYCH

IM. WŁADYSŁAWA STRZEMIŃSKIEGO, Łódź

(72) SUCHOCKI PIOTR; BŁASZCZYK JOANNA;

GRABOWSKA GRAŻYNA;

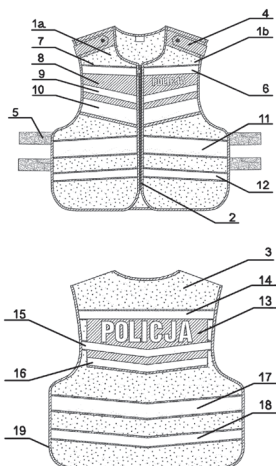
WOŹNIAKOWSKA MAŁGORZATA;

GUTOWSKA AGNIESZKA; WAŁĘZA JADWIGA

(54) Kamizelka ostrzegawcza motocyklisty

(57) Przedmiotem zgłoszenia jest kamizelka ostrzegawcza motocyklisty która przeznaczona jest dla funkcjonariuszy policji. Kamizelka o kształcie podkoszulka stanowią dwie symetryczne części przodu (1a i 1b) połączone ze sobą rozdzielnie ekspresem (2) oraz trwale z częścią tylną (3) na odcinkach ramieniowych, wyposażonych dodatkowo w pagony (4) umieszczone na granatowym tle i regulacyjne boczne odcinki taśm rzepowych (5). Poniżej pagonów (4) usytuowane są trapezoidalne srebrne odcinki odblaskowe (6) otoczone granatową wypustką (7) oraz na jednej z części przodu jest nieduży srebrny odblaskowy napis POLICJA na granatowym tle (8). Poniżej usytuowane są dwa równoległe pasy odblaskowe srebrne (9 i 10) otoczone granatowymi wypustkami, opadające ukośnie od bocznych krawędzi w kierunku środka, a niżej dwa równoległe pasy odblaskowe (11 i 12) z ciemnymi wypustkami, opadające ukośnie od środka w kierunku boków. Na wysokości łopatek części tylnej (3), na granatowym trapezoidalnym tle (13), usytuowany jest pas srebrny odblaskowy (14), poniżej duży srebrny odblaskowy napis POLICJA, a poniżej dwa równoległe pasy odblaskowe (15 i 16), oba z granatowymi wypustkami, opadające ukośnie od boków w kierunku środka. Niżej dwa równoległe pasy odblaskowe (17 i 18) z ciemnymi wypustkami, opadające ukośnie od boków w kierunku środka, natomiast brzegi części przodu (1a i 1b) i tyłu (3) wykończone są granatową lamówką (19).

(3 zastrzeżenia)



U1 (21) 129378 (22) 2020 07 31

(51) A41D 13/00 (2006.01)

(71) INSTYTUT TECHNOLOGII BEZPIECZEŃSTWA MORATEX, Łódź; AKADEMIA SZTUK PIĘKNYCH

IM. WŁADYSŁAWA STRZEMIŃSKIEGO, Łódź

(72) SUCHOCKI PIOTR; BŁASZCZYK JOANNA;

WOŹNIAKOWSKA MAŁGORZATA;

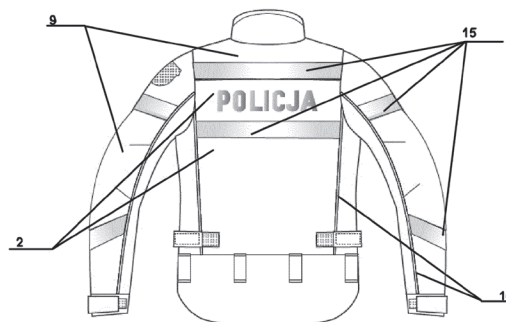
GRABOWSKA GRAŻYNA; GUTOWSKA AGNIESZKA;

MIEDZIANOWSKI TOMASZ; KUDLIŃSKA MAŁGORZATA

(54) Kurtka letnia motocyklisty

(57) Przedmiotem wzoru użytkowego jest kurtka letnia motocyklisty. Kurtka letnia motocyklisty wyposażona jest w konwencjonalne protektory przeciwuderzeniowe w obrębie barków, łokci i tyłu oraz dodatkowe ramieniowe wkłady ochronne, układ otworów wentylacyjnych z zamkami błyskawicznym regulującymi wielkość otwarcia wlotów powietrza, układ taśm odblaskowych jak również dodatkowy zamek błyskawiczny na wewnętrznej stronie, umożliwiający połączenie ze spodniami. Kurtka charakteryzuje się tym, że posiada dwuczęściowe przody oraz dwuczęściowy tył (2) wykonany z górnej części z tkaniny powlekanej poliamidowej oraz w dolnej części z siatki dzianiny ażurowej.

(2 zastrzeżenia)



U1 (21) 129379 (22) 2020 07 31

(51) A41D 13/00 (2006.01)

(71) INSTYTUT TECHNOLOGII BEZPIECZEŃSTWA MORATEX, Łódź; AKADEMIA SZTUK PIĘKNYCH

IM. WŁADYSŁAWA STRZEMIŃSKIEGO, Łódź

(72) SUCHOCKI PIOTR; BŁASZCZYK JOANNA;

WOŹNIAKOWSKA MAŁGORZATA;

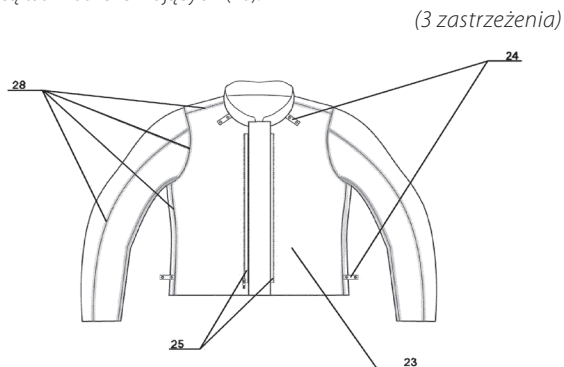
GRABOWSKA GRAŻYNA; GUTOWSKA AGNIESZKA;

MIEDZIANOWSKI TOMASZ; KUDLIŃSKA MAŁGORZATA

(54) Kurtka zimowa motocyklisty

(57) Przedmiotem wzoru użytkowego jest zimowa kurtka motocyklisty. Wyposażona jest ona w konwencjonalne protektory przeciwuderzeniowe w obrębie barku, łokci tyłu oraz dodatkowe ramieniowe wkłady ochronne. Kurtka charakteryzuje się tym, że ma dopinaną podpinkę - membranę (23) wykonaną z dzianiny powlekanej wodoodpornej, która stanowi dodatkowe zabezpieczenie użytkownika przed deszczem i podpinka - membrana (23) dopinana jest do kurtki przy pomocy układu pętelek i nap (24) oraz zamków błyskawicznych (25), zaś na podszewce podpinki - membrany (23) wykonanej z siatki dzianej ażurowej, po prawej stronie na wysokości piersi, jest naszyta nakładana kieszeń na telefon z patką, a po lewej stronie na wysokości piersi kieszeń cięta zamykana na zamek błyskawiczny, a poza tym podpinka - membrana (23) po-

siada szwy decydujące o wodoszczelności zabezpieczone za pomocą taśm uszczelniających (28).



U1 (21) 129380 (22) 2020 07 31

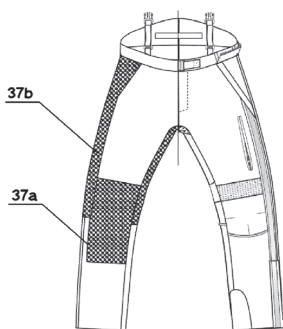
(51) A41D 13/00 (2006.01)
A41D 1/08 (2018.01)

- (71) INSTYTUT TECHNOLOGII BEZPIECZEŃSTWA MORATEX, Łódź; AKADEMIA SZTUK PIĘKNYCH IM. WŁADYSŁAWA STRZEMIŃSKIEGO, Łódź
(72) SUCHOCKI PIOTR; BŁASZCZYK JOANNA; WOŹNIAKOWSKA MAŁGORZATA; GRABOWSKA GRAŻYNA; GUTOWSKA AGNIESZKA; MIEDZIANOWSKI TOMASZ; KUDLIŃSKA MAŁGORZATA

(54) **Spodnie motocyklisty**

(57) Przedmiotem wzoru użytkowego są spodnie motocyklisty, przeznaczone do noszenia zwłaszcza przez funkcjonariuszy policji w okresie letnim i zimowym. Spodnie motocyklisty wyposażone w konwencjonalne protektory przeciwuderzeniowe w obrębie bioder i kolan oraz element wzmacniający aramidowy znajdujący się z przodu w obrębie kolan i z tyłu od góry spodni (37a i 37b) do zgięcia kolan, a na udach z przodu i tyłu spodni oraz dole nogawki znajduje się układ otworów wentylacyjnych z zamkami błyskawicznym, a także posiadają układ taśm odblaskowych, jak również dodatkowy zamek błyskawiczny na zewnętrznej stronie tyłu spodni na górze, umożliwiającą połączenie spodni wymiennie z kurtką letnią lub zimową, z tyłu zaś do pasa spodni od strony zewnętrznej dopinany jest karczek z regulowanymi szelkami.

(2 zastrzeżenia)



U1 (21) 129381 (22) 2020 07 31

(51) A61C 3/025 (2006.01)

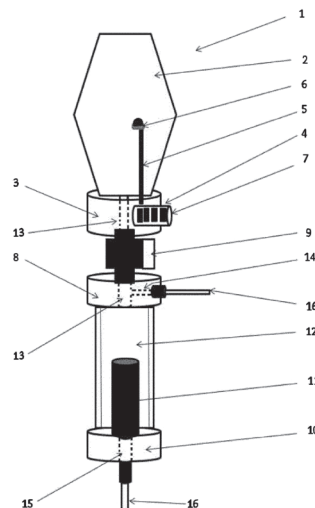
- (71) UNIwersytet Medyczny w Łodzi, Łódź
(72) DOBKOWSKI ZBIGNIEW; RZEŹNIK AGNIESZKA

(54) **Kolumna abrazyjna**

(57) Przedmiotem wzoru użytkowego jest kolumna abrazyjna, zwłaszcza dla urządzeń abrazyjnych, zawierająca zasobnik głowny (12) i tłumik gazu (11), charakteryzuje się tym, że zasobnik głowny (12) osadzony jest na nakrętce dolnej (10), a od góry przykryty jest nakrętką górną (8). W nakrętce górnej (8) osadzony jest pierwszy koniec kanału transportowego (13), a drugi koniec kanału transportowego (13) osadzony jest w tulei (3). Na tulei (3) osadzony jest

pojemnik (2) na ścierniwo. Natomiast na bocznej ścianie tulei (3) zamocowany jest pojemnik (4) na baterie z przytwierdzonym pionowo prętem (5), na którym zamocowana jest dioda LED (6) promienna UVC. Pomiędzy tuleją (3) a nakrętką górną (8), na kanale transportowym (13) osadzony jest zawór (9). W bocznej ścianie nakrętki górnej (8) znajduje się kanał wylotowy (14), a w nakrętce dolnej (10) w spodniej części jest kanał wlotowy (16).

(9 zastrzeżeń)



Data wprowadzenia zmiany zastrzeżeń: 2021 03 08

U1 (21) 129382 (22) 2020 07 31

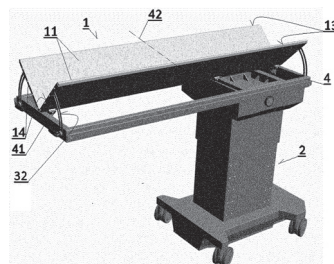
(51) A61D 3/00 (2006.01)
A61G 13/04 (2006.01)
A61B 6/04 (2006.01)

- (71) GÓŹDŹ JAN EUREKA GRUPA INŻYNIERIA SPOŻYWCZA, DORADZTWO I PROJEKTOWANIE, Lublin
(72) GÓŹDŹ JAN

(54) **Stół do obrazowania do zastosowania w weterynarii**

(57) Przedmiotem wzoru użytkowego jest stół do obrazowania, w szczególności z zastosowaniem aparatu obrazującego z ramieniem typu „C” do zastosowania w weterynarii, posiadający blat mocowany na postumencie, przy czym blat wykonany jest jako dwudzielny i zestawiony z dwóch płyt które przylegają do siebie dłuższymi krawędziami i wyposażone są w mechanizm do unoszenia zewnętrznych dłuższych krawędzi blatu ku górze. Stół charakteryzuje się tym, że płyty (11) blatu (1) zamocowane są obrotowo do prostokątnej ramy (4), przy czym mocowanie jest przy wewnętrznej dłuższej krawędzi (12) płyty. Płyty (11) wyposażone są na krótszych krawędziach (14) w listwy (31), z których każda posiada skierowany w dół profil (32) z łukowatym rowkiem (33), w którym osadzona jest zaciskowa blokada (34) regulacji wysokości uniesienia zewnętrznej dłuższej krawędzi (13) płyty (11). Blokada (34) zamocowana jest do krótszego boku (41) ramy (4). Rama (4) wsparta jest na postumencie (2), który przesunięty jest względem jej krótszej osi symetrii (42) w stronę jednego z jej krótszych boków (41). Płyty (11) blatu (1) wykonane są z materiału przeziernego dla promieniowania emitowanego przez aparat obrazujący.

(5 zastrzeżeń)



DZIAŁ B

RÓŻNE PROCESY PRZEMYSŁOWE; TRANSPORT

U1 (21) 130205 (22) 2021 08 04

(51) **B65G 1/02** (2006.01)
B65G 1/04 (2006.01)

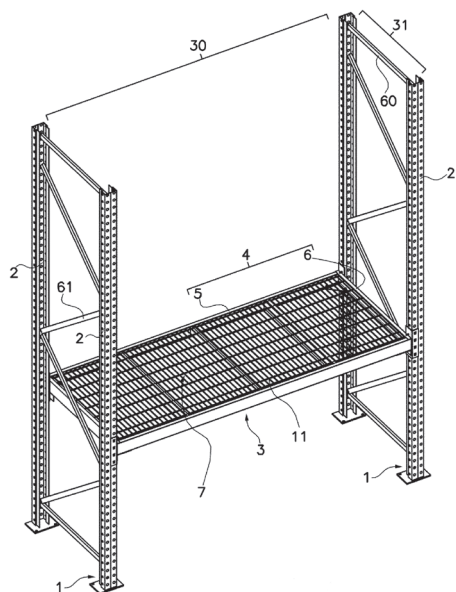
(31) 202031758 (32) 2020 08 05 (33) ES

(71) METALMALLA & BEICO, SL, Sant Adrià de Besòs, ES
(72) PLANAS PEREZ SALVADOR, ES; GARCÍA FERNÁNDEZ SANTIAGO, ES

(54) Metalowa konstrukcja regałowa

(57) Składa się z pionowych wsporników (1) z kołkami (2) sztywno połączonymi ze sobą oraz prostokątnych półek (3) połączonych narożnikami z kołkami (2), przy czym każda półka (3) zawiera ramę (4) utworzoną przez podłużnice (5) i poprzeczki (6) wg profili metalowych „C”, oraz podłoga nośna (7) wykonana z poprzecznych i podłużnych (11) metalowych prętów (11), nałożonych na siebie i przyspawanych na ich przecięciach i połączonych z ramą za pomocą końcówek prętów skierowanych do niektórych skrzydeł profili „C”, górne skrzydła belek (5) i/lub poprzeczek (6) półek (3) prezentujące podłużne wygięcie do wewnątrz, pozostawiając końcową krawędź wspomnianych skrzydeł styka się i jest przyspawana do końców prętów podłogi (7), a rama (4) jest przymocowana do wsporników pionowych na zewnątrz wspomnianych narożników.

(12 zastrzeżeń)



DZIAŁ E

BUDOWNICTWO; GÓRNICTWO;
KONSTRUKCJE ZESPOLONE

U1 (21) 129389 (22) 2020 08 05

(51) **E04B 9/04** (2006.01)

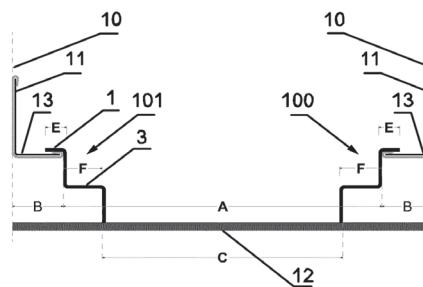
(71) SZPONAR ZBIGNIEW, Katowice

(72) SZPONAR ZBIGNIEW

(54) Ramka kasetonu osłonowego

(57) Ramka kasetonu osłonowego w kształcie równoległoboku, w którym boki ukształtowane są schodkowo, zawieszana na profilu nośnym ma dwa przeciwległe boki (100 i 101) uformowane w kształcie zbliżonym do dużej litery „M”, w której górne, poziome ramię (1) jest prostopadłe do osi (10) profilu nośnego (11) i ma długość (E) mniejszą od długości (B) ramienia (13) profilu nośnego (11), przy czym ramiona pionowe górne odchodzi prostopadłe w dół od końca ramienia (1), po czym zagina się pod kątem prostym w kierunku od osi (10) tworząc ramię poziome dolne, które zagina się pionowo w dół tworząc ramię pionowe dolne.

(10 zastrzeżeń)



U1 (21) 129391 (22) 2020 08 06

(51) **E04F 21/18** (2006.01)**E04F 21/22** (2006.01)**E04F 21/20** (2006.01)**E04G 21/18** (2006.01)

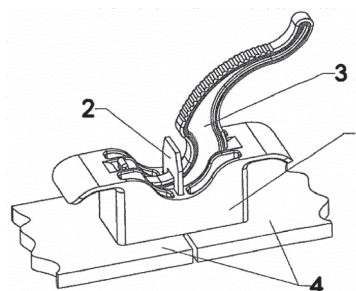
(71) AWENTA E.W.A. CHOMKA SPÓŁKA JAWNA, Stojadła

(72) CHOMKA WALDEMAR

(54) Przyrząd poziomujący do układania okładzin

(57) Przedmiotem zgłoszenia jest przyrząd poziomujący widoczne powierzchnie okładzin, do stosowania podczas montażu okładzin w kształcie płytek na powierzchniach na przykład podłóg lub ścian, mający zastosowanie w budownictwie. Przyrząd poziomujący do układania okładzin, zaopatrzonej w trącony kształtowy element (2) o bocznym profilu odwróconej litery T, posiadający wykonany w pionowej wypustce otwór zamontowany jest w szczelinie pomiędzy płytkami (4), tak że rzeczony element (2) nachodzi na poziome wypusty tegoż kształtowego elementu (2), charakteryzuje się tym, że pionowa wypustka osadzona jest w poprzecznej szczelinie znajdującej się w półokrągłej wklęsłości podstawy, obudowy (1), zaopatrzonej w środkową wzdłużną szczelinową bieżnię posiadającą w miejscu krzyżowania się z poprzeczną szczeliną ząbki, przy czym podstawa, obudowa (1) ma zarys prostokątnościenny o górnej wyprofilowanej półkuliści wklęsłości, w której to niecce wykonana jest poprzeczna szczelina, przy czym podstawa, obudowa (1) ukształtowana jest tak że podstawą przylega do powierzchni płytek (4), nadto w rzeczonyj szczelinowej bieżni przez otwór wykonany w pionowej wypustce elementu (2) przechodzi mimośrodowy klin (3), zaopatrzonej na zewnętrznym zaokrągleniu w ząbki.

(3 zastrzeżenia)



DZIAŁ F

MECHANIKA; OŚWIETLENIE; OGRZEWANIE;
UZBROJENIE; TECHNIKA MINERSKA

U1 (21) 129387 (22) 2020 08 05

(51) F16D 55/226 (2006.01)

F03D 7/00 (2006.01)

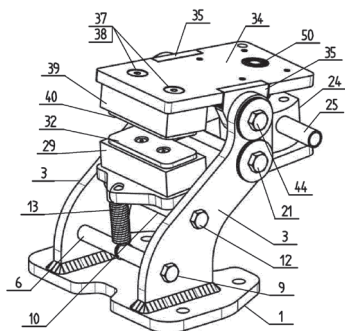
(71) HIPAR SPÓŁKA Z OGRANICZONĄ
ODPOWIEDZIALNOŚCIĄ, Wola Rafałowska

(72) CZARNOTA KAMIL

(54) Hamulec bezpieczeństwa turbiny wiatrowej
o pionowej osi obrotu

(57) Hamulec bezpieczeństwa turbiny wiatrowej charakteryzuje się tym, że posiada dolną metalową płytową podstawę (1), połączoną nierozłącznie z dwoma pionowo i równolegle usytuowanymi względem tej podstawy i siebie profilowymi ramionami (3), połączonymi rozłącznie ze sobą w dolnej ich części za pomocą walcowego elementu (6) i usytuowanego nad nim walcowego zderzaka (10), a w górnej ich części połączone są z dwoma umieszczonymi również pomiędzy nimi półkolistymi odsadzeniami dolnego płytowego elementu z osadzoną w nich śrubą (21) z dwoma pierścieniowymi podkładkami (22) oraz usytuowanymi nad tym elementem płytowym i pomiędzy tymi ramionami dwoma półkolistymi odsadzeniami (35) górnego płytowego elementu (34) z osadzoną w nich śrubą (44) z dwoma pierścieniowymi podkładkami, przy czym górna powierzchnia przedniego końca dolnego płytowego elementu połączona jest rozłącznie z prostopadłościennym uchwytem (29), w którym osadzona jest połączona z nim płytkowa okładzina cierna (32), a drugi koniec powierzchni tego dolnego elementu połączony jest rozłącznie z podstawą siłownika pneumatycznego (24), natomiast dolna powierzchnia górnego płytowego elementu (34) połączona jest rozłącznie z analogicznym prostopadłościennym uchwytem (39), w którym osadzona jest i połączona z nim płytkowa okładzina cierna (40) usytuowana naprzeciw płytkowej okładziny czarnej (32), a ponadto przednie łukowe odsadzenie dolnego płytowego elementu połączone jest z górnym zaczepem dolnej sprężyny walcowej (13), której dolny zaczep połączony jest z obwodowym kanałkiem (7) walcowego elementu (6), zaś jeden zaczep górnej sprężyny walcowej połączony jest z narożnym otworem górnego płytowego elementu (34), a drugi dolny jej zaczep połączony jest z narożem dolnego płytowego elementu.

(4 zastrzeżenia)



U1 (21) 129383 (22) 2020 08 03

(51) F16K 17/04 (2006.01)

E21D 23/16 (2006.01)

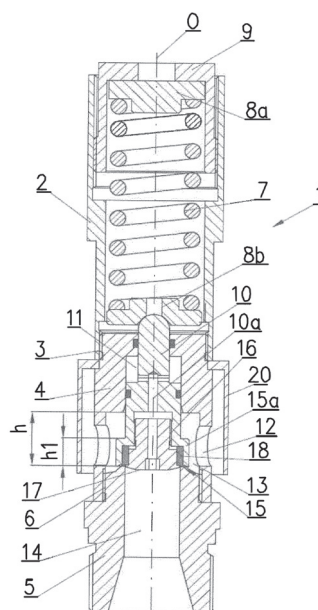
F16K 25/00 (2006.01)

(71) CENTRUM HYDRAULIKI DOH SPÓŁKA
Z OGRANICZONĄ ODPOWIEDZIALNOŚCIĄ, Bytom(72) DIEDERICHS RYSZARD; NYCZ BARTŁOMIEJ;
WÓJCİK KRZYSZTOF; PYKA STANISŁAW

(54) Zawór przelewowy jednostopniowy

(57) Zgłoszenie dotyczy budowy zaworu przelewowego jednostopniowego, stosowanego zwłaszcza w układach hydraulicznych obudów górniczych. Korpus (1) zaworu zbudowany jest z górnej części (2) połączonej współosiowo z tulejowym łącznikiem (4), a ten z kolei z dolną częścią (5) korpusu (1). W górnej części (2) znajduje się sprężyna (7) o regulowanej sile rozparcia, która od dołu wsparta jest na górnym końcu tłoczka różnicowego (10), osadzonego przesuwnie wzdłuż osi wzdłużnej O w komorze różnicowej (11) tulejowego łącznika (4). Dolny koniec (15) tłoczka różnicowego (10) ma postać wystającego na zewnątrz kołnierza (15a) umieszczonego we wnętrzu komory upustowej (13). Kołnierz (15a) ma wysokość h_1 mniejszą od wysokości h komory upustowej (13), która połączona jest z otworami upustowymi (12). Do wnętrza kołnierza (15a) wkręcona jest złączka uszczelniająca (17) wyposażona w tulejkę uszczelniającą (18), przy czym między powierzchnią oporową kołnierza (15a), a kryzą złączki uszczelniającej (17) zachowany jest odstęp o wielkości (a), korzystnie z zakresu $0,2 \div 0,3$ długości (b) tulejki uszczelniającej (18). Na tulejowy łącznik (4) nałożona jest zewnętrzna osłona (20) zakrywająca otwory upustowe (12).

(2 zastrzeżenia)



U1 (21) 130310 (22) 2020 08 04

(51) F24C 15/20 (2006.01)

F24F 7/06 (2006.01)

(71) CIARKO SPÓŁKA Z OGRANICZONĄ
ODPOWIEDZIALNOŚCIĄ SPÓŁKA KOMANDYTOWA,
Sanok

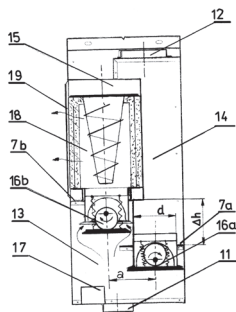
(72) ZIARKO ŁUKASZ

(54) Moduł przekierowywania strumienia powietrza
dla przyściennego okapu kuchennego

(57) Moduł ma pionową, prostopadłościenną obudowę, która łączona jest przez kołnierz wlotowy (11) na ścianie dolnej z okapem wchłaniającym. Na ścianie górnej posiada kołnierz wylotowy (12) łączony z kanałem wentylacyjnym budynku, a w części dolnej obudowy ma komorę wlotową (13) z której wyprowadzone są do góry dwa kanały: wylotowy (14) i recyrkulacyjny (15). W kanale recyrkulacyjnym (15) zabudowany jest filtr plazmowy (18), nad którym w sąsiadującej ścianie bocznej obudowy wykonane są szczeliny wylotowe (19) powietrza oczyszczonego. Istota wzoru polega na tym, że na wlotach do kanałów wylotowego (14) i recyrkulacyjnego (15) ma elektromechaniczne przepustnice powietrza (16a, 16b), zamocowane na dwóch ściankach poziomych (7a, 7b), które usytuowane są na różnych wysokościach (Δh). Siłowniki przepustnic (16a, 16b) sterowane są sygnałami z zespołu czujników jakości powietrza (17) zamocowanych w komorze wlotowej (13). Bezpośrednio na kołnierze

rze przepustnicy powietrza (16) kanału recyrkulacyjnego (15) osadzony jest rurowy filtr plazmowy (18) z obwodową warstwą tkaniny nasączonej aktywnym węglem.

(8 zastrzeżeń)



U1 (21) 130038 (22) 2020 08 05

(51) F24F 3/16 (2021.01)

F24F 12/00 (2006.01)

B01D 53/00 (2006.01)

B01D 5/00 (2006.01)

(71) NAJPOL-DRUK SPÓŁKA Z OGRANICZONĄ
ODPOWIEDZIALNOŚCIĄ, Brzeg

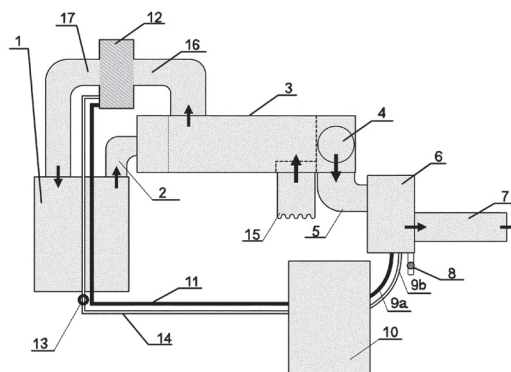
(72) NAJCZUK JAROSŁAW

(54) Układ do oczyszczania powietrza ze związków
chemicznych powstałych w procesie pracy maszyny
oraz sposób oczyszczania powietrza ze związków
chemicznych powstałych w procesie pracy maszyny

(57) Przedmiotem zgłoszenia jest układ do oczyszczania powietrza ze związków chemicznych powstałych w procesie pracy ma-

szyny, który charakteryzuje się tym, że maszyna emitująca opary ze związkami chemicznymi (1), połączona jest trwale kanałem przelotowym (2) z rekuperatorem (3) posiadającym otwór wylotowy oparów ze związkami chemicznymi (4) połączony trwale kanałem (5) z pompą ciepła (6) wyposażoną w kanał wydmuchu zimnego, czystego powietrza (7) oraz odpływ skroplonego rozcieńczalnika (8) w dalszej kolejności pompa ciepła (6) połączona jest trwale z buforem wody (10) kanałem zasilającym (9a) oraz kanałem odprowadzającym (9b), który natomiast łączy się z nagrzewnicą (12) kanałem zasilającym w wodę (11) oraz wyposażonym w pompę (13) kanałem powrotnym wody (14), ponadto nagrzewnica (12) jest trwale połączona z jednej strony kanałem dolotowym (17) z maszyną emitującą opary ze związkami chemicznymi (1) a po przeciwnej stronie kanałem dolotowym (16) z rekuperatorem (3) posiadającym kanał wlotowy (15) z wentylatorem.

(1 zastrzeżenie)



III. WYKAZY

WYKAZ NUMEROWY WYNALEZKÓW ZGŁOSZONYCH W TRYBIE KRAJOWYM

Nr zgłoszenia	Int. Cl.	Strona
1	2	3
434329	B63B (2006.01)	9
434855	H02K (2006.01)	19
434857	G01N (2018.01)	16
434858	C04B (2006.01)	11
434859	A61L (2006.01)	7
434860	H01F (2006.01)	19
434862	G07D (2016.01)	18
434864	B62D (2006.01)	9
434865	C07D (2006.01)	11
434867	C08G (2006.01)	12
434868	B66C (2006.01)	10
434869	C08G (2006.01)	12
434870	B23C (2006.01)	8
434871	B29C (2017.01)	9
434875	F16K (2006.01)	13
434876	A61C (2006.01)	7
434877	A47B (2006.01)	6
434881	B62D (2006.01)	9

Nr zgłoszenia	Int. Cl.	Strona
1	2	3
434882	A21D (2006.01)	6
434883	A23L (2016.01)	6
434884	F23C (2006.01)	14
434885	G02F (2006.01)	16
434886	E04C (2006.01)	13
434887	G02F (2006.01)	16
434888	G02F (2006.01)	16
434889	G02F (2006.01)	17
434890	G02F (2006.01)	17
434891	G02F (2006.01)	17
434892	G02F (2006.01)	17
434893	G02F (2006.01)	18
434894	G02F (2006.01)	18
434895	G02F (2006.01)	18
434896	B01F (2006.01)	8
434897	B01F (2006.01)	8
434898	B65G (2006.01)	10
434899	C23C (2006.01)	13

Nr zgłoszenia	Int. Cl.	Strona
1	2	3
434900	A61K (2006.01)	7
434901	C08J (2006.01)	12
434902	C07C (2006.01)	11
434903	A62B (2006.01)	8
434904	C09K (2006.01)	13
434906	F24H (2006.01)	15
434907	C07C (2006.01)	11
434910	H02M (2006.01)	19
434911	A47J (2006.01)	7
434913	F24D (2006.01)	14
434915	B66C (2006.01)	10
434916	A23D (2006.01)	6
434917	G01B (2006.01)	15
434919	H05B (2006.01)	19
434920	E06B (2006.01)	13
434927	C08L (2006.01)	12

WYKAZ NUMEROWY WZORÓW UŻYTKOWYCH ZGŁOSZONYCH W TRYBIE KRAJOWYM

Nr zgłoszenia	Int. Cl.	Strona
1	2	3
129377	A41D (2006.01)	20
129378	A41D (2006.01)	20
129379	A41D (2006.01)	20
129380	A41D (2006.01)	21
129381	A61C (2006.01)	21

Nr zgłoszenia	Int. Cl.	Strona
1	2	3
129382	A61D (2006.01)	21
129383	F16K (2006.01)	23
129387	F16D (2006.01)	23
129389	E04B (2006.01)	22
129391	E04F (2006.01)	22

Nr zgłoszenia	Int. Cl.	Strona
1	2	3
130038	F24F (2021.01)	24
130205	B65G (2006.01)	22
130310	F24C (2006.01)	23

INFORMACJE DOTYCZĄCE ZGŁOSZEŃ WYNAŁAZKÓW
I WZORÓW UŻYTKOWYCH, O KTÓRYCH OGŁOSZENIE UKAZAŁO SIĘ
POPРZEDNIO W BIULETYNACH URZĘDU PATENTOWEGO

Nr zgłoszenia macierzystego	Numer BUP, w którym ogłoszono o zgłoszeniu macierzystym	Symbol MKP pod którym ogłoszono o zgłoszeniu macierzystym	Nr zgłoszenia wydzielonego	Data zgłoszenia wydzielonego	Symbol MKP zgłoszenia wydzielonego
126740	10/2019	E04H 17/16 E04C 1/00	130111	2017.10.27	E04H 17/14 E04H 17/16 E04C 1/00

WNIOSKI O UDZIELENIE PRAWA OCHRONNEGO NA WZÓR UŻYTKOWY
ZGŁOSZONY UPРZEDNIO JAKO WYNAŁAZEK

Nr zgłoszenia wzoru użytkowego	Nr zgłoszenia macierzystego	Nr i rok wydania Biuletynu Urzędu Patentowego
130334	429412	2/2020
130352	427735	11/2020
130404	422618	5/2019
130408	433588	23/2020